#### REPUBLIQUE ALGERIENNE DEMOCRATIQUE ET POPULAIRE MINISTERE DE L'ENSEIGNEMENT SUPERIEUR ET DE LA RECHERCHE SCIENTIFIQUE UNIVERSITE M'HAMED BOUGARA-BOUMERDES



### Faculté des Hydrocarbures et de la Chimie

### Mémoire de Fin d'Etudes En vue de l'obtention du diplôme :

### **MASTER**

Présenté par

**CHIKH Djamel** 

**MOUAS Idir** 

Filière: Hydrocarbure

Option : Génie Electrique : Electricité industrielle

### **Thème**

# Modélisation et simulation d'un variateur de vitesse associe à une MAS, pour l'entrainement d'un ventilateur

#### **Devant le jury:**

HAMADACHE Mohamed	MCB	UMBB	président
KHELIFI Fateh	MAA	UMBB	examinateur
TADJER S.A	MCA	UMBB	examinateur
KIFOUCHE Rezki	MCA	UMBB	encadreur

Année Universitaire: 2015/2016

#### REPUBLIQUE ALGERIENNE DEMOCRATIQUE ET POPULAIRE MINISTERE DE L'ENSEIGNEMENT SUPERIEUR ET DE LA RECHERCHE SCIENTIFIQUE UNIVERSITE M'HAMED BOUGARA-BOUMERDES



#### Faculté des Hydrocarbures et de la Chimie

Département : Automatisation des procédés et Electrification

Filière: Hydrocarbure

Option : Génie Electricité : Electricité Industrielle

### Mémoire de Fin d'Etudes En vue de l'obtention du diplôme :

### **MASTER**

## Thème

Modélisation et simulation d'un variateur de vitesse associe à une MAS, pour l'entrainement d'un ventilateur

**Présenté par :** CHIKH Djamel MOUAS Idir

Avis favorable de l'encadreur :

Nom Prénom signature

KIFOUCHE Rezki

Avis favorable du Président du jury Nom Prénom Signature

Cachet et signature

### Chapitre I: Présentation de l'entreprise et de système à étudier

I. Présentation de l'entreprise	. 1
I.1. Aperçu générale sur l'Eniem	. 1
I.2. ORGANISATION GENERALE DE L'ENIEM	. 2
I.2.1. Unité cuisson	. 2
I.2.2. Unité froid	. 2
I.2.3. Unité commerciale	. 3
I.2.4. La vente et service après-vente unité de prestation technique	. 3
ORGANIGRAMME DE L'ENTREPRISE	. 4
I.2.Généralité	. 5
I.2.1 Définition d'un four en générale	. 5
I .2.2. Fonctionnement d'un four d'une façon générale	. 5
I.3. Le four de l'ENIEM de l'unité cuisson	. 5
I.3.1. Caractéristiques du four continu léger FERRO	. 6
I.3.2. Type de four : OLUH - 1219/914 - 16/12 RT – Hp 1400	. 6
I.3.3. Energie installé	. 6
I.3.4. Chauffage	. 6
I.3.5. Convoyeur	. 6
I.3.6. Produits	. 6
I.3.7. Production de cuisson	. 6
I.3.8. Production	. 6
I.3.9. Isolation légère à l'intérieure du four	. 7
I.3.10. L'atmosphère dans le four	. 7
I.3.11. Rendement de fonctionnement	. 8
I.3.12. Tubes radiantes	. 8
Figure (I.3): Les tubes radiantes	. 8
I.3.13. Chauffage	. 8
I.3.14. Bruleurs	. 8
I.3.15. Zones de contrôle	. 9
I.3.16. Régulation automatique du tirage	. 9
I.3.17. Ecrans	. 9
I.3.18 Circulation d'aire	10
I.4. Description générale	10

I.5. Données spécifiques du four	11
I.6. Conclusion	11
Problématique	12
Chapitre II: Modélisation et simulation d'un moteur asynchrone	
II.1 Modélisation de la machine asynchrone	13
II.1.1 Introduction	13
II.2.2. Constitutions et principe de fonctionnement	13
II.2.2.1 Stator = inducteur	14
II.2.2.2 Rotor = induit	14
II.2.2.2.1 Rotor à cage d'écureuil	14
II.2.2.2.2 Rotor bobiné	15
II.2.2.3. Courants induits	15
II.2.2.4. Entrefer	15
II.2.2.5. Glissement	15
II.2.3 Description paramétrique de la machine asynchrone triphasée	16
II.3. Equation générale de la machine asynchrone	17
II.3.1. Rappel des conventions et des lois fondamentales de l'induction	1.7
électromagnétique	
II.3.1.1. Loi de faraday	
II.3.1.2. Loi de Lenz	
II.3.2. Application de la loi de Faraday a la machine asynchrone	
II.4. Equations générales de la machine asynchrone	
II.4.1. Les equations electriques :	
II.4.2. Les équations magnétiques	
II.5. Transformation de PARK	22
II.6. Choix du référentiel	24
II.6.1 Référentiel tournant à la vitesse ωs (d, q)	24
II.7. Equations électromagnétique et mécanique :	25
II.7.1 Equation électromagnétique	25
II.7.2 Equation mécanique	25
II.8. Mise sous forme d'état	25
II.9 Modélisation de couple résistant	26

II.10. Simulation et interprétation :	27
II.10.1 Simulation:	27
II.10.1.1 Schéma bloc du moteur	27
II.10.1 Simulation du moteur	28
II.10.1.1 Simulation à vide	28
II.10.1.2 simulation en charge	29
II.10.2 Interprétation des résultats de la simulation	31
II.11. Conclusion.	32
CHAPITRE III : Modélisation et dimensionnement d'	'un variateur de
vitesse	
III. Introduction	33
III.1. Rappel sur les semi-conducteurs	33
Introduction	33
III.2. Choix des composants	34
III.2.1. La diode	36
III.2.2. L'IGBT	37
III.3. Choix du variateur de vitesse	38
III.3.1. Facteurs techniques	38
III.3.2. Facteur économique	39
III.4. : structure d'un variateur de vitesse	39
III.4.1. Modélisation du redresseur	39
III-4-1-1 La structure d'un redresseur	40
III.4.1.2.Etude de la tension de charge	40
III.4.1.3. La tension redressée	41
III.4.1.4.Etude des courants	43
III.4.1.5. La valeur efficace de courant	43
III.4.1.6. L'équation mathématique du redresseur	44
III.4.2. Modélisation de filtre	44
III.4.3.Modélisation de l'onduleur	45
III.4.3.1. Propriété de l'onduleur	46
III.4.3.2.Domaine d'utilisation	46
III.4.3.3. Modélisation de l'onduleur à deux niveaux	47
III.5. Commande du l'onduleur	49

III.5.1. Principe de la commande en MLI des onduleurs triphasés	49
III.5.2. Principe de la modulation de largeur d'impulsion	50
III.5.3. Caractéristique de la modulation de largeur d'impulsion (MLI)	50
III.5.4. Objectif de la Technique MLI	51
III.6. Dimensionnement des paramètres du variateur de vitesse	52
III.6.1 Introduction	52
Application pour notre moteur	52
III.6.2.Calcul du montage Onduleur.	52
III.6.2.1.Tension d'entrée	52
III.6.2.2.Courant d'entré.	53
III.6.2.3.Le courant dans le semi-conducteur commandé	54
III.6.3.Calcul du montage redresseur.	55
IV.6.3.1.Le courant.	55
III.6.3.2. La tension.	56
III.6.4.Calcul du filtre passe bas.	56
III.6.4.1. Calcul de la capacité:	56
III.6.4.2. Calcul de la résistance de filtre.	57
III.7 Conclusion	57
Chapitre IV Simulation de l'ensemble qui constitue le variateur	de vitesse
et son association au MAS	
${\underline{I}}V.$ Introduction	58
IV.1. Simulation de l'ensemble qui constitue le variateur de vitesse	58
IV.1.1 Simulation de redresseur avec et sans filtre	58
VI. 1.1.1 présentation de modèle	58
IV.1.1.2 Résultats simulation :	58
IV.2.1 Simulation de l'onduleur	59
IV.2.2. présentation du modèle	59
IV. Résultats de simulation :	
Interpretation des resultats de la simulation du variateur	
IV.2 Simulation de de l'ensemble moteur-variateur de vitesse	
VI.2.1 présentation du système variateur-moteur à simuler	
Résultat de simulation	
IV.2.1 simulation avec f = 50Hz	

	IV 2.1.1 Simulation à vide	62
	VI.2.1.2 simulation en charge	64
	IV.2.2 simulation avec une fréquence f= 40Hz	65
	IV.2.3. Interprétation des résultats	67
ľ	V.3. conclusion	67

# Liste des figures

Figure	Nom	Page
	Chapitre I	
Figure (I.1)	quelques fours industriels	5
Figure (I.2)	le mur et le bas de four	7
Figure (I.3)	Les tubes radiants	8
Figure (I.4)	Les constitutions d'un bruleur	9
Figure (I.5)	Zone de control de la température	9
Figure (I.6)	Système de tirage d'aire	10
	Chapitre II	
Figure (II.1)	moteur asynchrone avec ces différentes parties.3	13
Figure (II.2)	stator d'un moteur	14
Figure (II.3)	rotor a cage	14
Figure (II.4)	représentation d'un moteur a rotor bobiné et un autre a cage	15
Figure (II.5)	Représentation des enroulements de la machine asynchrone	17
	triphasée dans l'espace électrique	
Figure (II.6)	Représentation du passage d'un système triphasé à celui	22
	biphasé	
Figure (II.7)	schéma bloc de simulation de la machine asynchrone sous Matlab /Simulink	27
Figure (II.8)	Courants statorique Isa à vide	28
Figure (II.9)	Courants rotorique Isa à vide	28
Figure (II.10)	Vitesse de rotation (n) a vide	28
Figure (II.11)	Couple électromagnétique Ce à vide	29
Figure (II.12)	Courants statorique Isa en charge	29
Figure (II.13)	Courants rotoriques Ira à en charge	30
Figure (II.14)	Vitesse de rotation (n) en charge	30
Figure (II.15)	Couple électromagnétique Ce en charge	30
	Chapitre III	
Figure (III.1)	Choix des composants selon la puissance et la fréquence	35
Figure (III.2)	Les déférents domaines d'application de l'électronique de	35
	puissance	
Figure (III.3)	Symbole de la diode	36
Figure (III.4)	Caractéristique d'une diode	37
	_	38
Figure (III.5)	symbole et principe de commutation d'un IGBT	
Figure (III.6)	structure d'un variateur de vitesse	39
Figure (III.6) Figure (III.7)	7	
Figure (III.6) Figure (III.7) Figure (III.8)	structure d'un variateur de vitesse	39
Figure (III.6) Figure (III.7) Figure (III.8) Figure (III.9)	structure d'un variateur de vitesse Redresseur triphasé a pont de diode PD3	39 40
Figure (III.6) Figure (III.7) Figure (III.8)	structure d'un variateur de vitesse Redresseur triphasé a pont de diode PD3 Montage PD3-tension redressée	39 40 42

# Liste des figures

	<b>T</b>	
Figure (III.12) Figure (III.13) Figure (III.14) Figure (III.15) Figure (III.16) Figure (III.17) Figure(III.18)	Le schéma symbolique de l'onduleur Structure de l'onduleur à deux niveaux Un bras de l'onduleur à deux niveaux Schéma principale de l'onduleur Représentation des interrupteurs Principe de la modulation Schéma synoptique de la commande en MLI (triphasé)  Chapitre IV	46 47 47 47 48 50 51
Figure(IV.1) Figure(IV.2) Figure (IV. 3) Figure (IV. 4)  Figure(IV.5 Figure (IV.6) Figure (IV.7) Figure (IV.9) Figure (IV.10) Figure (IV.11) Figure (IV.12) Figure (IV.13) Figure (IV.14) Figure (IV.15) Figure (IV.15) Figure (IV.16) Figure(IV.17) Figure(IV.18) Figure(IV.19) Figure(IV.20) Figure(IV.21)	Modèle d'un redresseur sur MATLAB La tension à la sortie de redresseur sans filtre La tension à la sortie de redresseur avec de filtre Modèle de l'onduleur et sa commande MLI sous MATLAB SIMILINK la commande sinus-triangle les intervalles de conduction des intercepteurs la tension simple maximale Va de la sortie de l'onduleur la tension composé maximale V23 a la sortie de l'onduleur Bloc de simulation MAS/variateur courant statorique Isa à vide courant rotorique Ira à vide la vitesse n à vide Le couple électromagnétique Ce a vide courant statorique Isa en charge (f= 50Hz) courant rotorique en charge Ira (f= 50Hz) vitesse n en charge (f= 50Hz) Le couple électromagnétique ne charge (f= 50Hz) courant rotorique Isa en charge (f=40) courant rotorique Ira en charge (f=40) vitesse n en charge (f=40) Le couple électromagnétique Ce en charge (f=40)	58 58 59 59 60 60 60 61 62 63 63 64 64 64 65 65 65 66 66

#### INTRODUCTION GENERALE

Les moteurs électriques sont de nos jours, à l'exception des dispositifs d'éclairages, les récepteurs les plus nombreux dans les industries et les installations tertiaires. Leur fonction, de convertir l'énergie électrique en énergie mécanique, leur donne une importance économique toute particulière.

Parmi les moteurs existants, les moteurs asynchrones triphasés notamment les moteurs à cage sont les plus utilisés dans l'industrie et au-delà d'une certaine puissance dans les applications du bâtiment tertiaires.

Du plus, bien que leur commande par des équipements à contacteurs soit parfaitement adaptée pour un grand nombre d'application, l'emploi de l'électronique de puissance, qui est en constante progression, élargit leur champ d'application. C'est le cas pour contrôler le démarrage et l'arrêt avec les démarreurs-ralentisseurs progressifs, comme aussi lorsqu'un réglage précis de la vitesse est également nécessaire avec les variateurs – régulateurs de vitesse.

En effet, pour la bonne exploitation de ces moteurs on ne se limite pas à les connecter simplement sur le réseau, mais on fait appel à l'électronique de puissance pour la résolution de beaucoup de problème d'adaptation à leur fonction approprié.

C'est ce qui inspire l'objectif principal de ce travail qui consiste à effectuer le dimensionnement d'un variateur de vitesse pour les moteurs asynchrones qui se trouve au niveau de four de cuisson de l'entreprise ENIEM (Tizi Ouzou) pour assurer la bon adaptation de la nouvelle procédure d'émaillage qui sera expliqué dans le première chapitre au fonctionnement du four de cuisson et la résolution des problèmes qu'en découlent.

Pour mener à bien ce travail, on a choisi de le diviser en cinq chapitres :

Dans le premier chapitre, un aperçu sur la société de l'ENIEM sera présenté, et le système à étudier (four de cuisson) sera développé en mettant l'accent sur la problématique et la solution proposée ce qui a permis de définir l'objectif de ce travail.

Dans le deuxième chapitre, on va effectuer la modélisation du moteur asynchrone et procéder à sa simulation sous Matlab/Simulink.

#### INTRODUCTION GENERALE

Le troisième chapitre sera consacré à la modélisation et au dimensionnement du variateur de vitesse ce qui mène présenter les modèle mathématique de l'ensemble qui constitue le variateur de vitesse, redresseur, onduleur, et au calcul des courants et des tensions d'entrées et de sortie ainsi que leurs valeur aux bornes des semi-conducteurs qui constituent cette ensemble.

Enfin, La simulation de l'ensemble qui constitue le variateur de vitesse est nécessaire pour la validation des équations élaborée. Le chapitre quatre sera consacré à la simulation de l'ensemble de variateur et de sa commande MLI. Et on va présenter aussi la simulation de l'association variateur de vitesse - machine asynchrone et un essai de variation de vitesse.

#### **Chapitre II**

#### Modélisation et simulation d'un moteur asynchrone

#### II.1 Modélisation de la machine asynchrone

#### **II.1.1 Introduction**

La modélisation des machines électriques est une phase primordiale pour l'étude du fonctionnement de moteur. En effet, aborder la commande des machines électriques nécessite l'emploi d'une méthode de modélisation adaptée à la commande.

Il est donc évident que cette étape de modélisation soit un passage obligatoire pour étudier le comportement de la machine dans tous les cas de fonctionnement

Les équations obtenues seront traduites sous forme de schéma-blocs de manière à être simulés à l'aide du logiciel MATLAB /SIMULANK.

La simulation de la machine asynchrone triphasée à diverses alimentations nous permettra de retrouver des résultats classiques et de valider le modèle obtenu.

#### II.2.2. Constitutions et principe de fonctionnement

Les images suivant représentent un moteur asynchrone avec ces différentes parties.

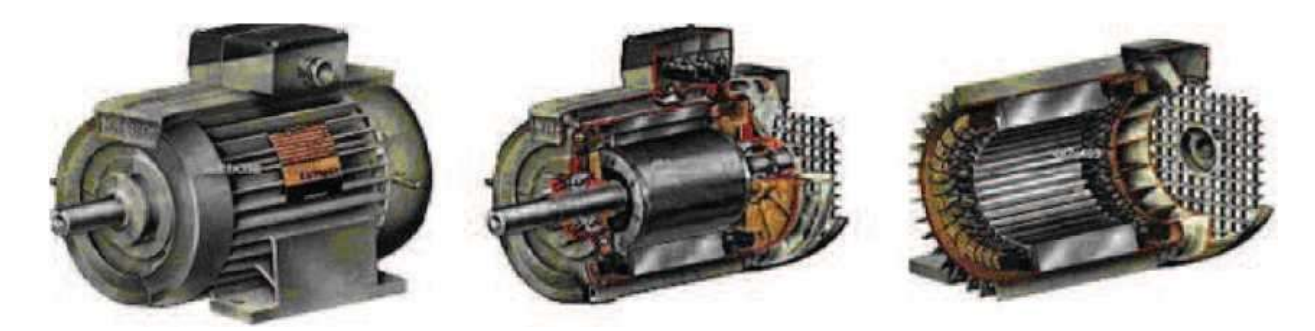


Figure (II.1): moteur asynchrone avec ces différentes parties.

Ws = W/P

#### II.2.2.1 Stator = inducteur

Il est constitué de trois enroulements (bobines) parcourus par des courants alternatifs triphasés et possède p paires de pôles.

Les courants alternatifs dans le stator créent un champ magnétique tournant à la pulsation de synchronisme

avec: Ws: vitesse de synchrone de rotation de champs tournant en rad /s<sup>-1</sup>

W: pulsation des courant alternatif en rad /s<sup>-1</sup> W=2\*pi\*f

P: nombre de pair de pole.

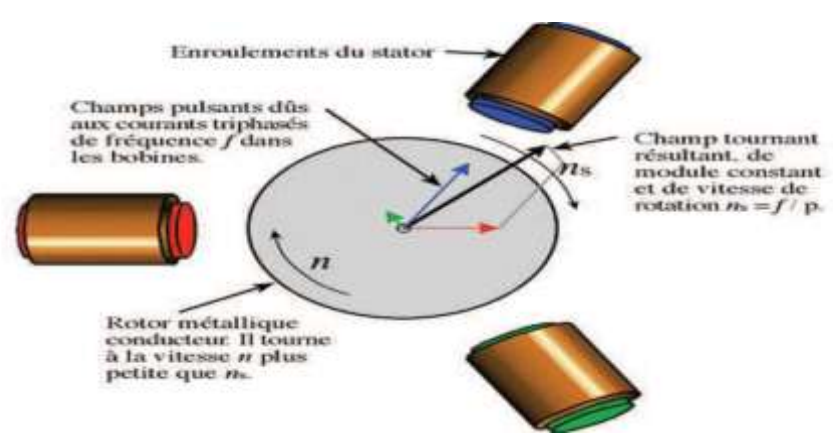


Figure (II.2): stator d'un moteur

#### II.2.2.2 Rotor = induit

C'est l'élément en rotation qui transmet la puissance mécanique. Il se trouve au centre du moteur et est soumis au champ magnétique crée par le stator, pour le moteur asynchrone le rotor est l'induit (celui qui subit les courant "induits"), et on a deux type principaux qui sont :

#### II.2.2.2.1 Rotor à cage d'écureuil

Il est constitué de barres conductrices très Souvent en aluminium. Les extrémités de ces barres sont réunies par deux couronnes également conductrices. On dit que le rotor est en court-circuit. Sa résistance électrique est très faible.

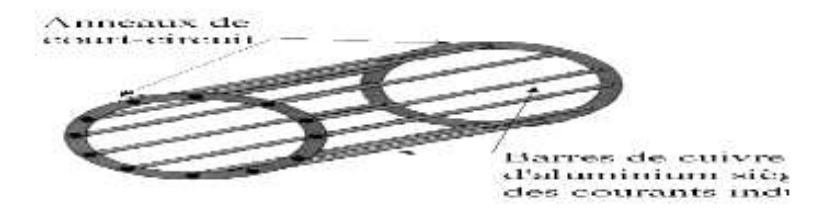


Figure (II.3): rotor a cage

#### II.2.2.2.2 Rotor bobiné

Les tôles de ce rotor sont munies d'encoches ou sont placés des conducteurs formant des bobinages.

On peut accéder à ces bobinages par l'intermédiaire de trois bagues et trois balais. Ce dispositif permet de modifier les propriétés électromécaniques du moteur.

#### II.2.2.3. Courants induits

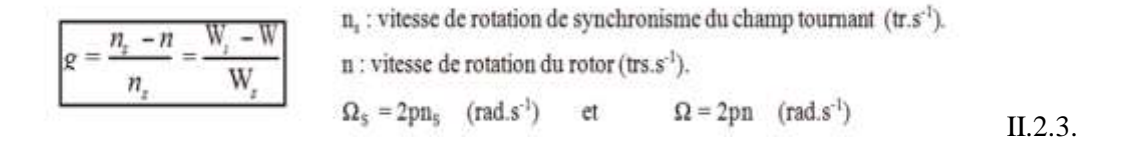
Le courant induit par ces effets s'oppose aux causes qu'ils lui ont donnée naissance (loi de Lenz), l'origine de ce courant résulte de la variation d'un flux électromagnétique inducteur au travers d'un circuit fermé qu'il lui appeler induit le courant induit crée alors un champ magnétique induit, telle que le flux ainsi induit, (c-a-d crée) est opposé au flux inducteur

#### II.2.2.4. Entrefer

L'entrefer est le vide entre le stator et le rotor.

#### II.2.2.5. Glissement

Le rotor tourne à la vitesse  $\Omega$  inferieure à la vitesse de synchronisme  $\Omega$ s. On dit que le rotor «"glisse"» par rapport au champ tournant. Ce glissement g va dépendre de la charge.



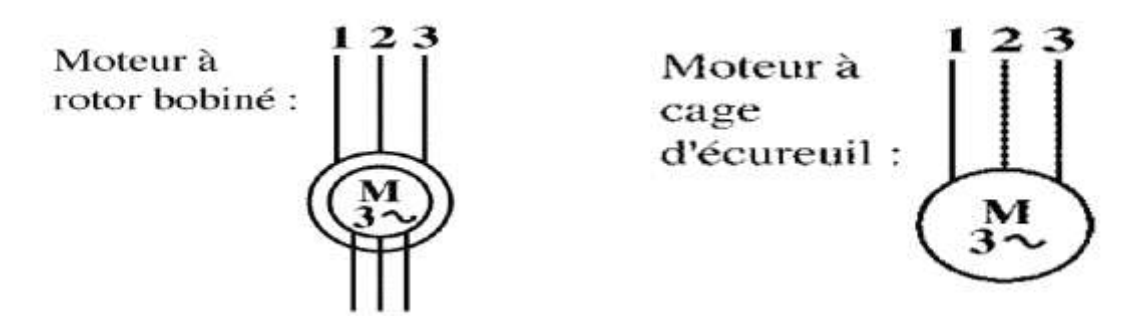


Figure (II.4): représentation d'un moteur a rotor bobiné et un autre a cage

#### II.2.3 Description paramétrique de la machine asynchrone triphasée

La machine asynchrone triphasée comporte un stator fixe et un rotor mobile autour de l'axe de symétrie de la machine.

Dans des encoches régulièrement réparties sur la face interne du stator sont logés trois enroulements identiques, à p paires de pôles ; leurs axes sont distants entre eux d'un angle électrique égal à  $2\pi/3$ .

Les phases du stator sont alimentées par un réseau triphasé de tensions sinusoïdales à fréquence et amplitude constantes ou par un onduleur de tension ou de courant à fréquence et à amplitude réglables.

La structure électrique du rotor peut-être réalisée :

- soit par un système d'enroulements triphasés (rotor bobiné), raccordés en étoile à trois bagues sur lesquelles frottent trois balais fixes accessibles par la plaque à bornes et mis en court-circuit pendant les régimes permanents.
- soit par une cage conductrice intégrée aux tôles ferromagnétiques [rotor à cage],

Il sera admis que la deuxième structure est électriquement équivalente à la première.

L'étude de cette machine traduit les lois de l'électromagnétisme dans le contexte habituel d'hypothèses simplificatrices :

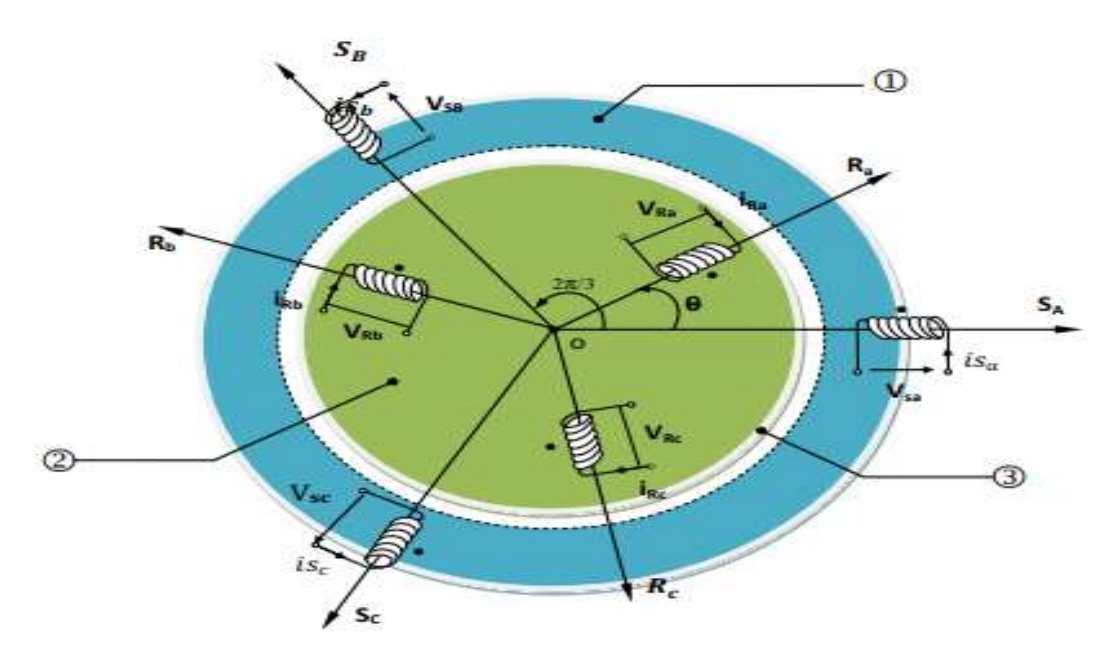
- entrefer constant.
- effet des encoches négligé,
- distribution spatiale sinusoïdale des forces magnétomotrices d'entrefer.
- circuit magnétique non saturé et a perméabilité constante,
- Pertes ferromagnétiques négligeables,
- l'influence de l'effet de peau et le l'échauffement sur les caractéristiques n'est pas prise en compte.

Parmi les conséquences importantes des hypothèses, on peut citer :

- L'additivité des flux.
- La constante des inductances propres.

- Loi de variation sinusoïdale dans l'inductance mutuelles entre les enroulements statorique et rotorique en fonction de **l'angle électrique** de leurs axes magnétiques.

La machine est représentée à la figure 2.1 par six enroulements dans l'espace électrique ; l'angle  $\alpha$  repère de la phase rotorique de référence  $\overrightarrow{R\alpha}$  par rapport à l'axe fixe de la phase statorique de référence  $\overrightarrow{S\alpha}$ . Les deux flux sont compté positivement selon les axes des phases; le sens des enroulements est repéré conventionnellement par un point(.) : un courant positif **entrant** par le point crée un flux positif dans l'enroulement. [13]



**Figure (II.5) :** Représentation des enroulements de la machine asynchrone triphasée dans l'espace électrique

#### II.3. Equation générale de la machine asynchrone

# II.3.1. Rappel des conventions et des lois fondamentales de l'induction électromagnétique

#### II.3.1.1. Loi de faraday

La loi de Faraday énonce que le force électromotrice induite dans un circuit fermé baigné par un champ magnétique est directement proportionnelle à la variation dans le temps du flux du champ magnétique pénétrant dans le circuit. La f.é.m. induite dans le

circuit est la dérivée négative par rapport au temps du flux du champ magnétique à travers les circuits [13]

$$e = -\frac{d\varphi}{dt}$$
 (II.1)

À condition que les conventions de signe suivant aient été posées :

- Le conteur (C) du circuit est orienté (voir figure 2.2)
- La surface (Σ) délimitée par le compteur est orienté, son sens est celui de la circulation le long du conteur (règle du trièdre direct, règle pratique << tire bouchon>>)
- Le symbole de source de tension associé 0 la force électromotrice a la même orientation que celle du compteur.

Le flux d'induction  $\phi$  est calculé par intégration de flux élémentaire d $\phi$  défini autour d'un  $\Rightarrow$  point M de la surface ( $\Sigma$ ), et égale au produit scalaire du vecteur élément de surface dSnormal a ( $\Sigma$ ), par l'induction magnétique  $\stackrel{\Rightarrow}{B}$  en  $\stackrel{\Rightarrow}{M}$ .

$$\phi = \iint_{C} \sum_{i} \overrightarrow{B} dS$$
 (II.2)

Dans le cas où le circuit électrique comporte un nombre n de spires traversées par le même flux  $\phi$  c, la formule de Faraday doit être appliqué au flux totalisé  $\phi = n\phi$  c. [13]

#### II.3.1.2. Loi de Lenz

Dans un circuit électrique fermé soumis à une variation de flux d'induction, les phénomènes d'induction (coutants induits, champ magnétique, forces électromagnétique..) ont un sens tel qu'ils tendent à s'opposer à la couse qui leur a donné naissance. [13]

La loi de Lenz permet de prévoir des effets d'induction sans analyser en détail le phénomène.

pour illustrer cette propriété, on considère le conteur i négatif, lui-même crée un courant induit i dans le sens positif est choisis arbitrairement identique à celui de (C). Soit R la résistance du circuit, la loi d'Ohm donne :

$$\mathbf{i} = \frac{e}{R} = -\frac{1}{R} + \frac{d\phi}{dt} \tag{II.3}$$

Un accroissement de  $\overrightarrow{B}$ , donc de  $\varphi$ , engendre un courant i négatif, lui-même créateur d'un champ opposé a  $\overrightarrow{B}$ ; l'effet du courant induit se traduit bien par l'opposition a la variation initiale de  $\overrightarrow{B}$ . [13]

#### II.3.2. Application de la loi de Faraday a la machine asynchrone.

L'un des six enroulements statorique au rotoriques est représenté a la figue 2.2.b; sa résistance est R. traversé par le flux totalisé φ défini selon la normal oriente n il est siége d'une f. e .m e, La loi des mailles s'exprime par la relation [13]

$$\mathbf{v} = R\mathbf{i} + \frac{\mathrm{d}\Phi}{\mathrm{d}t} \tag{II.4}$$

#### II.4. Equations générales de la machine asynchrone

#### II.4.1. Les equations electriques :

les équations électriques statoriques peuvent etre presenté dans leurs forme developpé comme suite :

$$\begin{pmatrix}
Vsa \\
Vsb \\
Vsc
\end{pmatrix} = \begin{pmatrix}
Rs & 0 & 0 \\
0 & Rs & 0 \\
0 & 0 & Rs
\end{pmatrix} + (d/dt ) \begin{pmatrix}
\phi sa \\
\phi sb \\
\phi sc
\end{pmatrix} (II.5)$$

Ou:  $[Vs] = [Rs] [Is] + [d/dt] [\phi s]$ 

Comme pour les équations statoriques les équations rotoriques peuvent être écrites comme suite :

$$\begin{pmatrix}
Vra \\
Vrb \\
Vrc
\end{pmatrix} = \begin{pmatrix}
Rr & 0 & 0 \\
0 & Rr & 0 \\
0 & 0 & Rr
\end{pmatrix} + (d/dt) \begin{pmatrix}
\phi ra \\
\phi rb \\
\phi rc
\end{pmatrix} (II.6)$$

Ou:  $[Vr] = [Rr][Ir] + [d/dt][\phi r] = [0]$ 

Le rotor étant en court-circuit, les tensions sont nulles

Avec:

Rs : la résistance statorique. Rr : la résistance rotorique.

[ Vsa Vsb Vsc ] $^{T}$  vecteur de tension statorique [ Vra Vrb Vrc ] $^{T}$  vecteur de tension rotorique [ isa isb isc ] $^{T}$  vecteur des courant statorique [ ira irb irc ] $^{T}$  vecteur de courant rotorique [  $\phi$ sa  $\phi$ sb  $\phi$ sc ] $^{T}$  vecteur des flux statorique [  $\phi$ ra  $\phi$ rb  $\phi$ rc ] $^{T}$  vecteur des flux statorique

Les matrices des résistances Rs, Rr ou sont regroupées respectivement les résistances de chacun des phases statorique et rotoriques, se mettent sous la forme suivant : [13]

$$[Rs] = \begin{pmatrix} Rs & 0 & 0 \\ 0 & Rs & 0 \\ 0 & 0 & Rs \end{pmatrix}$$
 (II.7), 
$$[Rr] = \begin{pmatrix} Rr & 0 & 0 \\ 0 & Rr & 0 \\ 0 & 0 & Rr \end{pmatrix}$$
 (II.8)

#### II.4.2. Les équations magnétiques

Les trois phases statoriques sont aussi magnétiquement couplées avec les trois phases rotoriques dont le flux totales \$\phi\$s et \$\phi\$r s'écrivent sous la forme matricielle suivant : [13]

Même calcule pour toutes les autres phases on obtient le système suivant :

L'écriture sous forme condensés des équations des flux peut être représentée comme suite :

$$[\phi s] = [Ls] [Is] + [Msr] [Ir]$$
(II.10)

$$[\phi s] = [Msr] [Is] + [Lr] [Ir]$$
(II.11)

Ls: matrice des inductions statoriques.

Lr: matrices des inductions rotoriques.

Msr: matrice des mutuelles stator-rotor.

 $Mrs = Msr^{T}$ : matrice des mutuelles rotor-stator.

Avec:

$$[Ls] = \begin{pmatrix} ls & lss & lss \\ lss & ls & lss \\ Lss & lss & ls \end{pmatrix}$$
 (II.12) 
$$[Lr] = \begin{pmatrix} lr & lrr & lrr \\ lrr & lr & lrr \\ lrr & lrr & lr \end{pmatrix}$$
 (II.13)

$$[Msr] = [Msr]^{T} = Msr \cos \left(\theta + \frac{2\pi}{3}\right) \cos \left(\theta - \frac{2\pi}{3}\right)$$

$$\cos \left(\theta - \frac{2\pi}{3}\right) \cos \left(\theta - \frac{2\pi}{3}\right)$$

$$\cos \left(\theta + \frac{2\pi}{3}\right) \cos \left(\theta - \frac{2\pi}{3}\right)$$

$$\cos \left(\theta + \frac{2\pi}{3}\right) \cos \left(\theta - \frac{2\pi}{3}\right)$$

$$\cos \left(\theta - \frac{2\pi}{3}\right) \cos \theta$$
(II.14)

- *ls*: Inductance propre d'une phase statorique.
- *lr*: Inductance propre d'une phase rotorique.
- *lss*: Inductance mutuelle entre deux phases statoriques.
- *lrr*: Inductance mutuelle entre deux phases rotoriques.
- Θ: L'angle de rotation du rotor par apport au stator.

On aura finalement:

$$[Vs]=[Rs] [Is] + [Ls] d/dt [Is] + [Msr]d/dt [Ir]$$
(II.15)

$$[Vr]=[Rr][Ir] + [Lr] d/dt [Ir] + [Mrs]d/dt [Is]$$
(II.16)

Cette modélisation triphasée présente un inconvénient majeur pour notre application. Les matrices Msr et Mrs dépendent de l'angle de rotation mécanique et nécessitent donc d'être recalculées à chaque pas. [13]

#### II.5. Transformation de PARK

La transformation de Park permet le passage d'un système triphasé équilibré vers un système biphasé. Il s'agit de remplacer le rotor tournant par un rotor fictif équivalent à condition de conserver la force magnétomotrice et la puissance instantané La figure (I.6) montre le passage du système triphasé au système biphasé. [13]

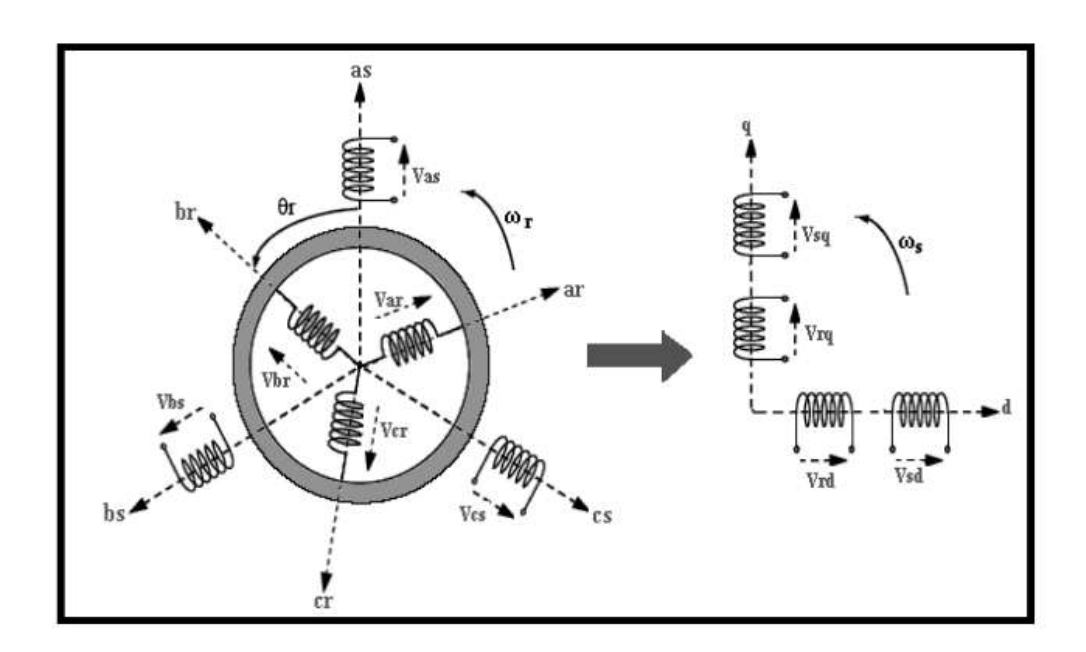


Figure (II.6): Représentation du passage d'un système triphasé à celui biphasé.

Le passage du système triphasé au système biphasé est donné par l'équation :

$$[FUVO] = P \qquad (\theta a) \qquad [Fabc]$$
(II.17)

 $[F_{UVO}]$ : peut-être un vecteur de tension, courant, flux dans le système biphasé.

 $[F_{abc}]$ : peut-être un vecteur de tension, courant, flux dans le système triphasé

. Avec P ( $\Theta$  a), La matrice de transformation de PARK qui s'écrit par:

$$P(\theta a) = \frac{\sqrt{2}}{3} \qquad \begin{cases} \cos \theta a & \cos \left(\theta a + \frac{2\pi}{3}\right) & \cos \left(\theta a - \frac{2\pi}{3}\right) \\ \sin \left(\theta a\right) & -\sin \left(\theta a - \frac{2\pi}{3}\right) & -\sin \left(\theta a - \frac{2\pi}{3}\right) \end{cases}$$

$$\frac{1}{\sqrt{2}} \qquad \frac{1}{\sqrt{2}} \qquad \frac{1}{\sqrt{2}} \qquad \qquad I$$
(II.18)

#### Hypothèse:

La composante homopolaire de toutes les grandeurs considérées (tensions, courants, flux) est nulle (la machine fonctionne en régime triphasé équilibré).

Les variables triphasées sont donc entièrement décrites par deux variables d'indices U, et V.

L'application de la transformé de PARK au modèle triphasé (II.18) et aux équations (II.6) donne le modèle biphasé suivant : [13]

$$\begin{pmatrix} Vru \\ Vsu \end{pmatrix} = \begin{pmatrix} Rr & 0 \\ Rs & 0 \end{pmatrix} \begin{pmatrix} iru \\ isu \end{pmatrix} + \frac{d}{dt} \begin{pmatrix} \emptysetru \\ \emptysetru \end{pmatrix} + \begin{pmatrix} 0 & -(\omega a - \omega) \\ \omega a - \omega & 0 \end{pmatrix} \begin{pmatrix} \emptysetru \\ \emptysetrv \end{pmatrix}$$
 II.20

$$\begin{cases} \emptyset su = \text{Ls isu} + \text{M iru} \\ \emptyset sv = \text{Ls isv} + \text{M irv} \end{cases} \qquad \begin{cases} \emptyset ru = \text{Lr iru} + \text{M isu} \\ \emptyset rv = \text{Lr irv} + \text{M isv} \end{cases}$$

$$II.21$$

#### Avec:

 $\omega$ a = d $\Theta$ a/dt : Vitesse angulaire de rotation du système d'axes biphasés sur rapport aux systèmes d'axes triphasées.

*Ls=ls-lss*: Inductance propre cyclique du stator.

Lr=lr-lrr: Inductance propre cyclique du rotor.

M = 3/2Msr: Inductance mutuelle cyclique entre stator et rotor.

#### II.6. Choix du référentiel

L'utilisation du modèle de Park nécessite l'utilisation d'un référentiel dont le choix se fait en fonction du problème étudié. Deux types de référentiel sont intéressants: [13]

#### II.6.1 Référentiel tournant à la vitesse ws (d, q)

C'est le seul référentiel qui n'introduit pas de simplification dans les équations de la machine. Il est utile lorsque la fréquence d'alimentation est constante et à fréquence variable lors des petites perturbations autour d'un régime donné. Généralement ce repère tournera à la vitesse du champ tournant qui est le champ crée par le bobinage statorique et qui tourne, en régime permanent, à la vitesse de synchronisme. [13] Il se traduit par les conditions [13]

$$\begin{cases} U \to d \\ V \to q \end{cases} \quad \text{Et} \qquad \frac{d \, \theta a}{dt} \qquad = \quad \underline{\omega} \underline{a} = \quad \underline{\omega} \underline{s}$$

Avec :  $\omega s = d\Theta/dt$  : La vitesse de synchronisme.

$$\omega r = \omega s - \omega$$

 $\omega$ : La vitesse électrique de glissement.

Les équations électriques prennent la forme suivante :

$$\begin{pmatrix} Vsd \\ Vsq \end{pmatrix} = \begin{pmatrix} Rs & 0 \\ 0 & Rs \end{pmatrix} \begin{pmatrix} isd \\ isq \end{pmatrix} + \frac{d}{dt} \begin{pmatrix} \emptysetsd \\ \emptysetsq \end{pmatrix} + \begin{pmatrix} 0 & -\omega s \\ \omega s & 0 \end{pmatrix} \begin{pmatrix} \emptysetsd \\ \emptysetsq \end{pmatrix} \qquad II.23$$

$$\begin{pmatrix} Vrd \\ Vrq \end{pmatrix} = \begin{pmatrix} Rr & 0 \\ 0 & Rr \end{pmatrix} \begin{pmatrix} ird \\ irq \end{pmatrix} + \frac{d}{dt} \begin{pmatrix} \emptysetrd \\ \emptysetrq \end{pmatrix} + \begin{pmatrix} 0 & -\omega r \\ \omega r & 0 \end{pmatrix} \begin{pmatrix} \emptysetrd \\ \emptysetrq \end{pmatrix} \qquad II.24$$

Donc on aura les équations électriques suivantes :

$$Vsd = Rs isd + d/dt(\emptyset sd) - \omega s\emptyset sq$$
 (II.25)

$$Vsq = Rs isq + d/dt(\emptyset sq) + \omega s\emptyset sd$$
 (II.26)

$$Vrd = Rr ird + d/dt(\emptyset rd) - \omega r \emptyset rd = 0$$
 (II.27)

$$Vrq = Rr irq + d/dt(\emptyset rq) + \omega r \emptyset rq = 0$$
 (II.28)

#### II.7. Equations électromagnétique et mécanique :

#### II.7.1 Equation électromagnétique

L'expression du couple électromagnétique est exprimée par l'équation suivante :

Cem=
$$(3/2)$$
pM[ids\* $i_q$ s  $-i_q$ r\* $i_d$ r] (II.33)

#### II.7.2 Equation mécanique

Pour étudier les phénomènes transitoires électromécaniques avec une vitesse rotorique variable (par exemple le démarrage, le freinage, la variation de la charge à l'arbre, etc...) il faut ajouter l'équation de mouvement au système d'équations différentielles. [13]

$$Id\Omega dt = Cem - Cr - f\Omega$$
 (II.35)

Avec:

J: Moment d'inertie.

f : Coefficient de frottement visqueux.

Cr : Couple résistant impose par la charge mécanique.

Cem.: Couple électromagnétique.

 $\Omega$ : Vitesse mécanique de rotation. Avec  $\omega = P \Omega$ 

#### II.8. Mise sous forme d'état

Le système d'équations d'électriques (2.25), (2.26), (2.26), (2.28), peut être exprimé comme suite : [14]

$$[L] \frac{d[I]}{dt} = -[R][I] + [U]$$
 (II.36)

Avec:

$$[R] = \begin{pmatrix} Rs & 0 & 0 & 0 \\ 0 & Rs & 0 & 0 \\ 0 & \omega rM & Rr & Ls\omega r \\ -\omega rM & 0 & -\omega rLr & Rr \end{pmatrix} ; [L] = \begin{pmatrix} Ls & 0 & M & 0 \\ 0 & Ls & 0 & M \\ M & 0 & Ls & 0 \\ 0 & M & 0 & Ls \end{pmatrix} ; [I] = \begin{pmatrix} isd \\ isq \\ ird \\ irq \\ irq$$

$$[U]=[Usd\ Usq\ 0\ 0] \tag{II.37}$$

A partir de l'expression (II.36) on peut écrire :

$$\frac{d[I]}{dt} = -[L]^{-1}[R][I] + [L]^{-1}[U]$$
 (II.38)

Cette expression représente la forme équivalente de l'équation d'état

$$\frac{dX}{dt} = AX + BU$$
, avec  $A = -[L]^{-1}[R]$ ,  $B = -[L]^{-1}$  et  $[R] = [R1] + \omega r[R2]$ , ou

$$[R_{1}] = \begin{pmatrix} R_{8} & 0 & 0 & 0 \\ 0 & R_{8} & 0 & 0 \\ 0 & 0 & R_{7} & 0 \\ 0 & 0 & 0 & R_{87} \end{pmatrix} \qquad (II.39) \; ; \; [R_{2}] = \begin{pmatrix} 0 & 0 & 0 & 0 \\ 0 & 0 & 0 & 0 \\ 0 & M & 0 & L_{8} \\ -M & 0 & -L_{8} & 0 \end{pmatrix} \qquad (II.40)$$

#### II.9 Modélisation de couple résistant

La charge qui est entrainée par le moteur est un ventilateur. Ce dernier développe un couple résistant variable en fonction de la vitesse de rotation du moteur, dont la variation est exprimée par une fonction de la forme suivante, a et b dépendent de la géométrie de ventilateur :

$$C = a\omega^2 + b \tag{II .41}$$

La détermination de a et b permet de connaitre l'évolution du couple en fonction de la vitesse. Tel que b le couple résistant à vide du ventilateur

On a aussi 
$$C = P / \omega = > C = 1500/151.76$$

$$C = 9.88 \text{ N.m}$$

Le couple résistant à vide est estimé à un dixième de couple résistant nominale, cela permet de déterminer le paramètre restant « a »

$$b = (1/10).C \Rightarrow b = 0.988 \text{ N.m}$$

$$a = \frac{C-b}{\omega^2}$$
 =>  $a = (9.88 - 0.988)/151.76^2$   
 $a = 3.7* 10^{-4}$ 

L'évolution de couple et donné par le relation suivante :

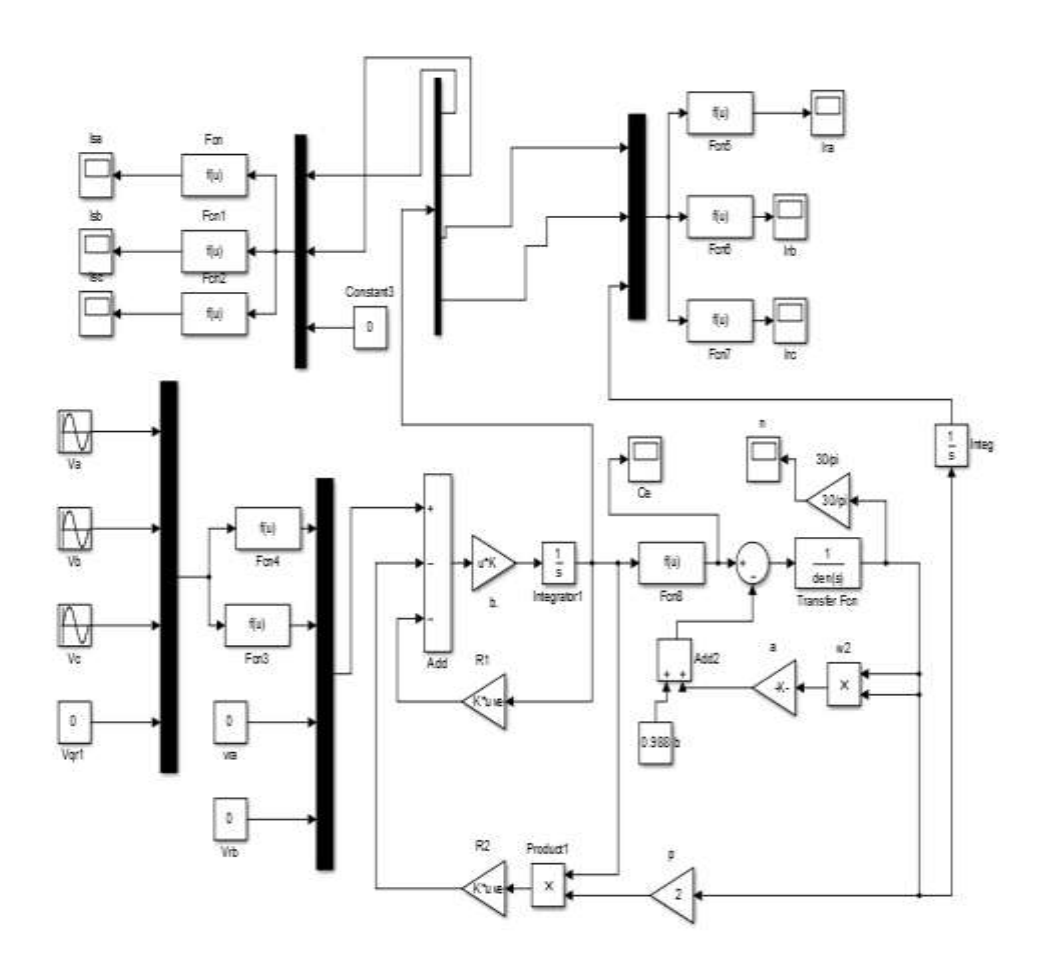
$$C = 3.7.10^{-4} w^2 + 0.988$$

### II.10. Simulation et interprétation :

#### II.10.1 Simulation:

#### II.10.1.1 Schéma bloc du moteur

L'équation matriciel (II.38) permet de représenter le model de moteur sous Simulink sous la forme représenté par la figure si dessous et qui permet d'accéder aux grandeurs tension, courant et couple.



**Figure (II.7):** schéma bloc de simulation de la machine asynchrone sous Matlab /Simulink

#### II.10.1 Simulation du moteur

#### II.10.1.1 Simulation à vide

la machine étant alimenté par une source de tension sinusoïdale, Va, Vb et Vc

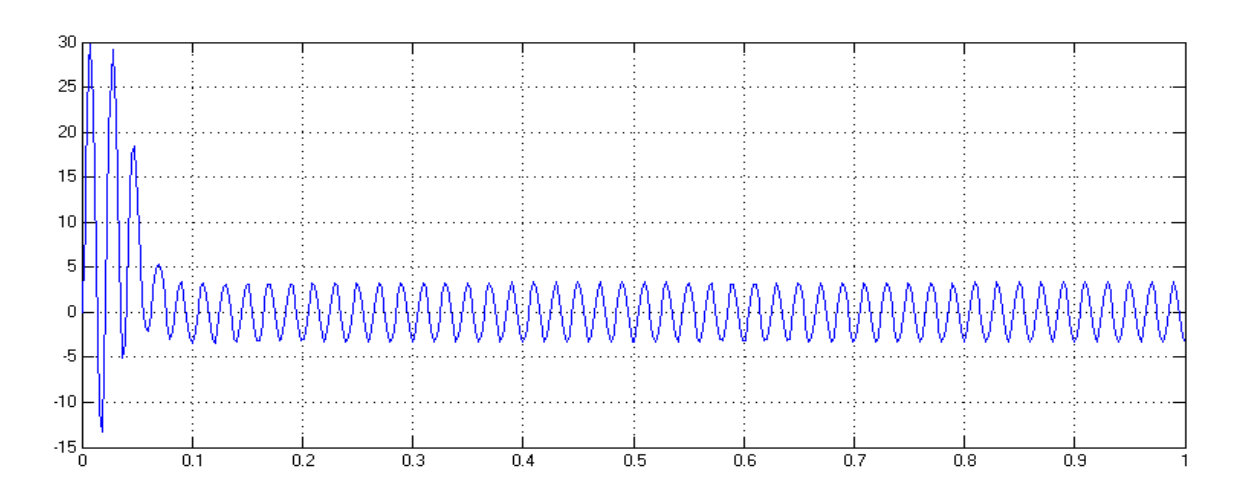


Figure (II.8): Courants statorique Isa à vide

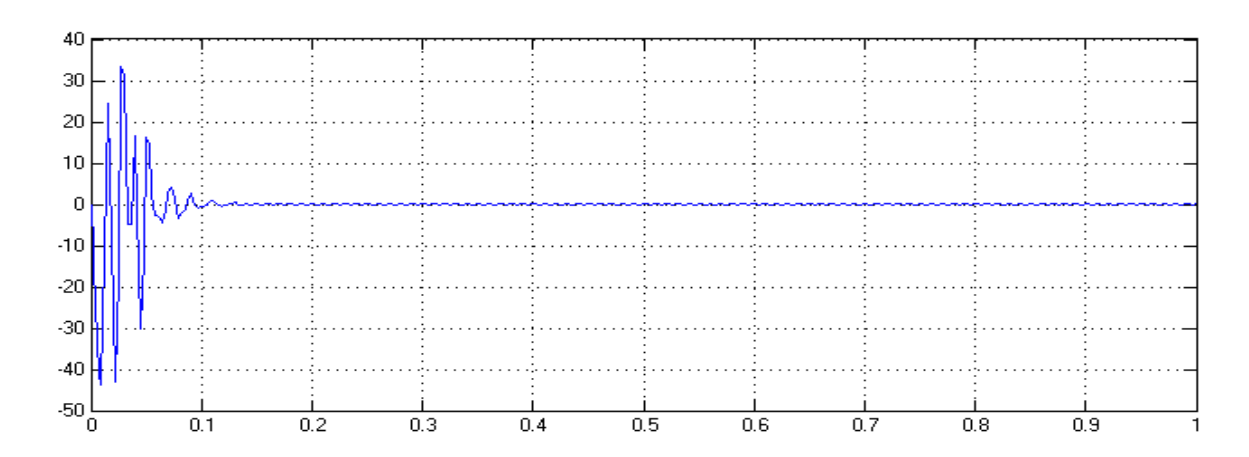


Figure (II.9): Courants rotoriques Ira à vide

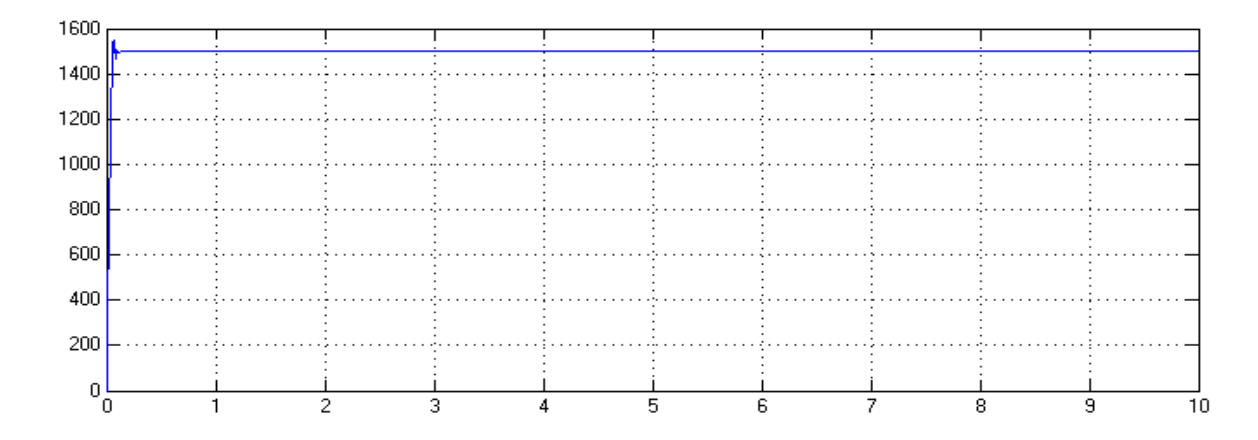


Figure (II.10): Vitesse de rotation (n) a vide

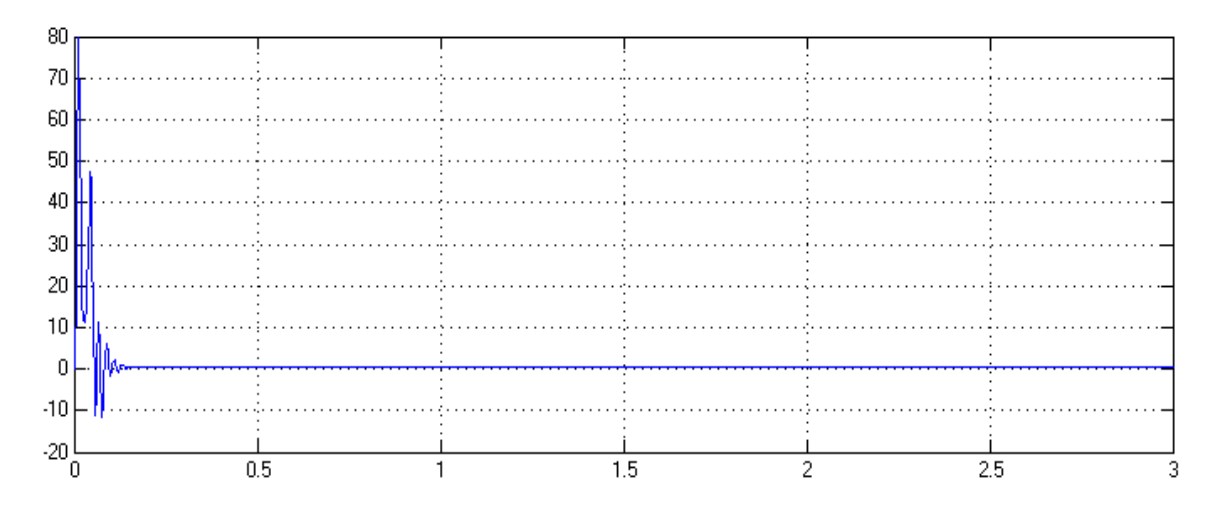


Figure (II.11): Couple électromagnétique Ce à vide

Résultats de simulation à vide

#### II.10.1.2 simulation en charge

La machine étant alimenté sur le réseau (220V/380V), on va associer la charge à l'instant t=0.5s

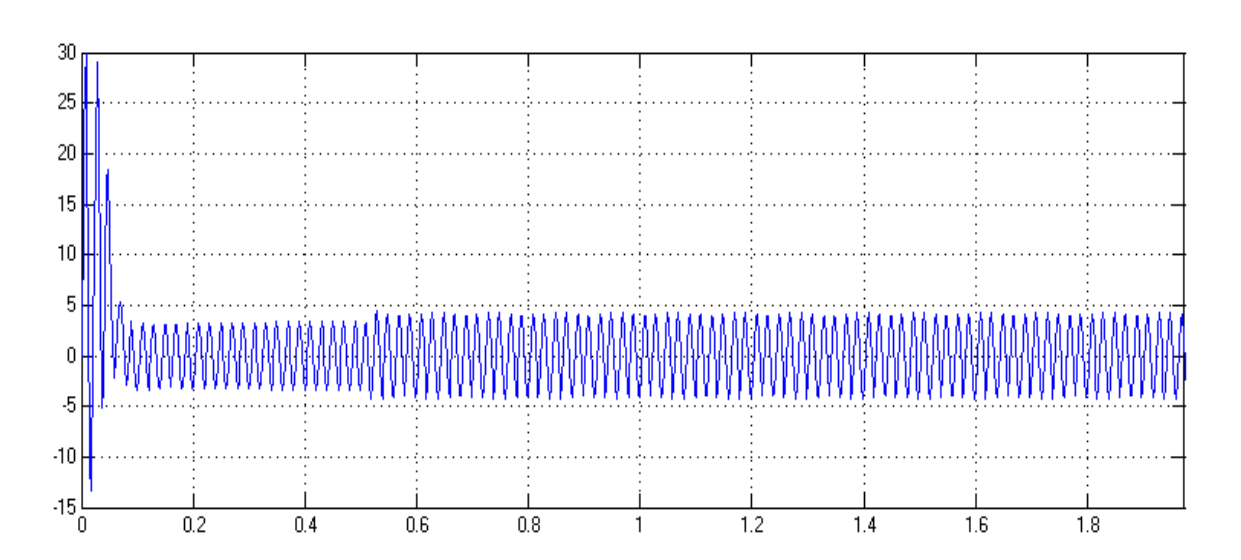


Figure (II.12): Courants statorique Isa en charge

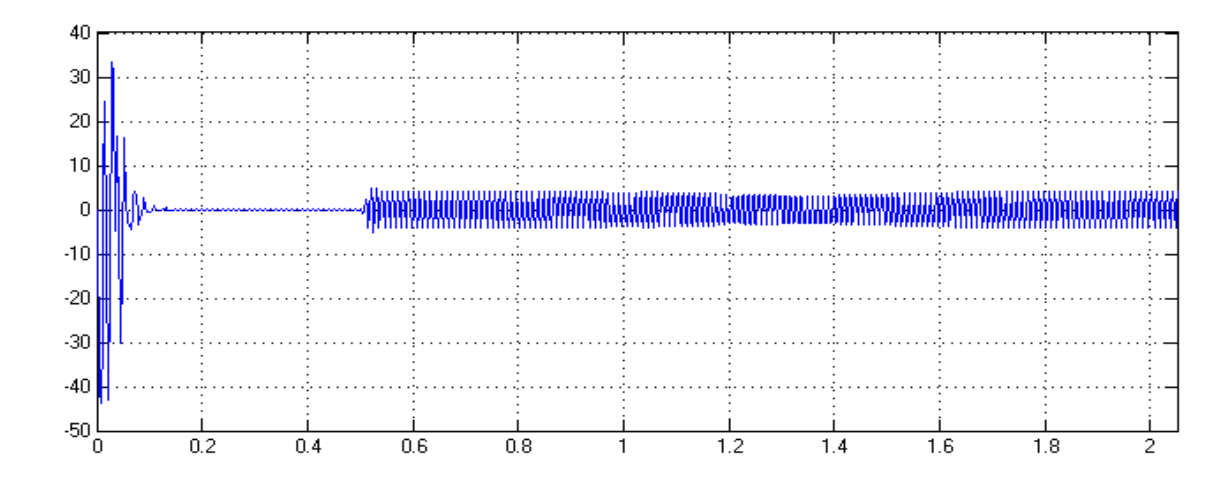


Figure (II.13): Courants rotoriques Ira en charge

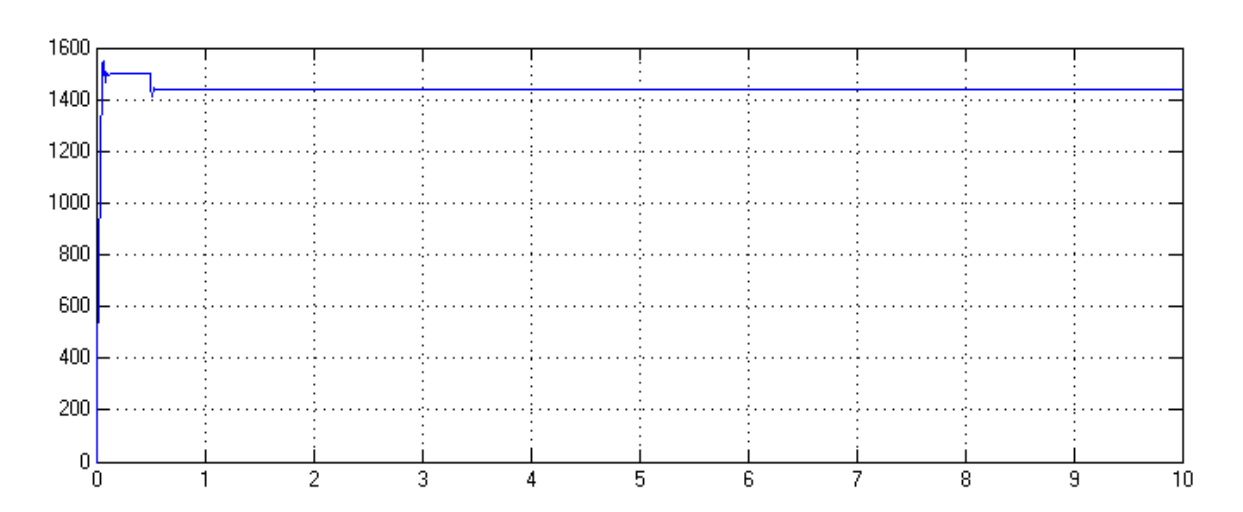


Figure (II.14): Vitesse de rotation n en charge

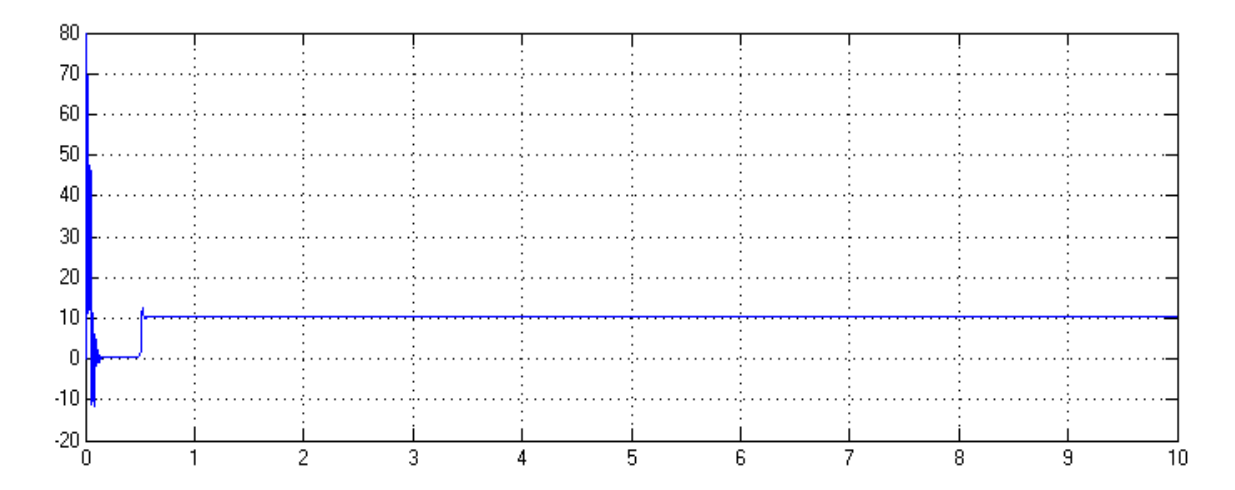


Figure (II.15): Couple électromagnétique Ce à vide

Les résultats de simulation en charge

#### II.10.2 Interprétation des résultats de la simulation

Les résultats de simulation représentent l'évolution de la vitesse de rotation, du couple électromagnétique et les courants rotoriques et statoriques.

La machine étant alimentée directement par le réseau standard [220/380 et 50Hz], et fonctionnant à vide, durant la phase de démarrage le courant statorique prend des valeurs importantes (Figure II.14), et c'est pareille pour le couple aussi (Figure II.16), une fois cette phase est dépassé le courant et le couple vont diminuer jusqu'à atteindre des valeurs faibles. Le temps de démarrage de moteur est estimer a t= 0.05 S et la vitesse se stabilise a une valeur proche de la vitesse de synchronisme qui de l'ordre de 1500 tr/min.

Le moteur étant toujours alimenté directement par le réseau, mais cette fois ci accouplé à la charge à entrainer qui est un ventilateur qui présente un couple variable en fonction de la vitesse dont la valeur minimale apparait lors de démarrage, on constate que le courant de démarrage est important mais aussi supérieur au courant de démarrage à vide et c'est également le cas pour le couple, au régime nominale le courant et le couple diminue a des valeur largement inferieur mais qui restent tout fois supérieur a ceux de fonctionnement à vide.

On constate aussi que le temps de démarrage moteur/ charge est un peu élevé par rapport à celui de démarrage à vide.

La vitesse se stabilise au régime nominal à une valeur de t=0.1S

#### II.11. Conclusion

Dans ce chapitre nous avons pu établir un modèle mathématique de la machine asynchrone triphasée dont la complexité a été réduite, en utilisant un certain nombre d'hypothèses simplificatrices.

En appliquant la transformation de Park qui permet de passer du système triphasé vers le système biphasé, le model de moteur a été ramené à une forme encoure beaucoup plus simple qui permet une simulation sans des grandes difficultés.

Les résultats obtenus par simulation montrent bien la validité du modèle de Park, dans le référentiel lié au champ tournant.

La machine alimentée en tension est caractérisée par un démarrage rapide, le couple électromagnétique et le courant se stabilisent après un régime transitoire caractérisé par quelques oscillations, ainsi qu'une vitesse de rotation un peu proche de la vitesse de synchronisme.

Le modèle de Park nous a permis de connaître les différentes contraintes des grandeurs électriques qu'une machine asynchrone peut supporter pour l'associée à des variateur de tension triphasée.

Les prochains chapitres seront consacrés à la modélisation et la simulation de l'association moteur-variateur de vitesse.

#### **CHAPITRE III**

#### Modélisation et dimensionnement d'un variateur de vitesse

#### III. Introduction

Vu le problème apparu après le changement de la procédure d'émaillage par l'entreprise ENIEM qui est expliqué dans la problématique cité au chapitre 1, la résolution de ce problème consiste à la mise en œuvre d'un variateur de vitesse pour le moteur qui entraine l'hélice, afin de contrôler le débit d'air généré par cette dernier a chaque fois que le problème de la projections des particules est constatée.

La mise en œuvre de variateur consiste à choisir la structure et les éléments semiconducteurs le constituant, puis la modélisation de la structure choisie qui seront exploité au chapitre suivant dans le cadre de la simulation de l'ensemble du système.

Pour atteindre cet objectif on est appelé à calculer les valeurs moyennes des courant et les tensions aux bornes des semi-conducteurs pour l'ensemble de la structure.

#### III.1. Rappel sur les semi-conducteurs

#### Introduction

Les matériaux semi-conducteurs, tels que le silicium, ont une résistivité qui se situe entre celle des conducteurs et celle des isolants.

Leurs atomes possèdent 4 électrons périphériques. Chaque atome s'associe avec 4 atomes voisins pour former une structure stable à 8 électrons.

Un semi-conducteur de type P s'obtient en incorporant au silicium pur une faible proportion d'un corps dont les atomes possèdent 3électrons périphériques. Il manque donc un électron pour former une structure à 8 électrons, ce qui se traduit par un excédent de charges positives.

Un semi-conducteur de type N s'obtient en incorporant un corps dont les atomes ont 5 électrons périphériques. Il y a donc un excédent d'électrons, c'est-à-dire un excédent de charges négatives.

Les composants de puissance sont des semi-conducteurs fonctionnant en tout ou rien, donc comparables à des interrupteurs statiques pouvant prendre les deux états : passant ou bloqué.

Ces composants, associés dans un module de puissance, constituent un convertisseur qui alimente, à partir du réseau à tension et fréquence fixes, un moteur électrique sous une tension et / ou une fréquence variable.

Les composants de puissance sont la clef de voûte de la variation de vitesse et les progrès réalisés ces dernières années ont permis la réalisation de variateurs de vitesse économiques. [3] [4] [5]

#### III.2. Choix des composants

Les composants de l'électronique de puissances (interrupteurs) sont déterminés par les niveaux de la puissance et la fréquence de commutation. En règle générale, plus les composants sont rapides, plus la puissance commutée est faible et inversement. A titre indicatif, les transistors MOSFET, sont considérés comme des composants très rapides mais de puissance relativement faible.

Les transistors bipolaires sont moins rapides que les transistors MOSFET mais d'avantage plus puissants (quelques kHz à une dizaine de kW). Les transistors IGBT sont des composants de gamme standard (jusqu'à 20 kHz à une des dizaines de kW). Les thyristors GTO commutent très lentement les grandes puissances. Ces composants sus indiqués sont du type commandable a l'ouverture et à la fermeture; ce qui n'est pas le cas pour le thyristor classique. [6]

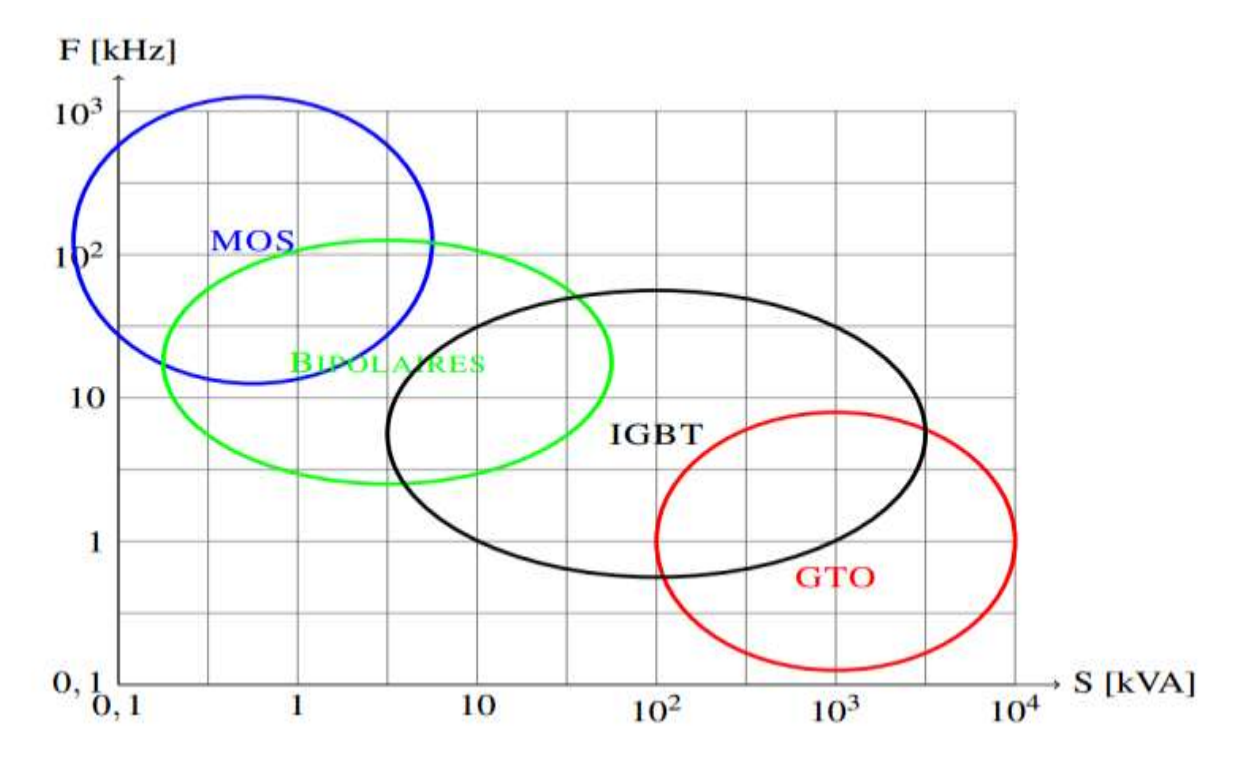


Figure.(III-1): Choix des composants selon la puissance et la fréquence

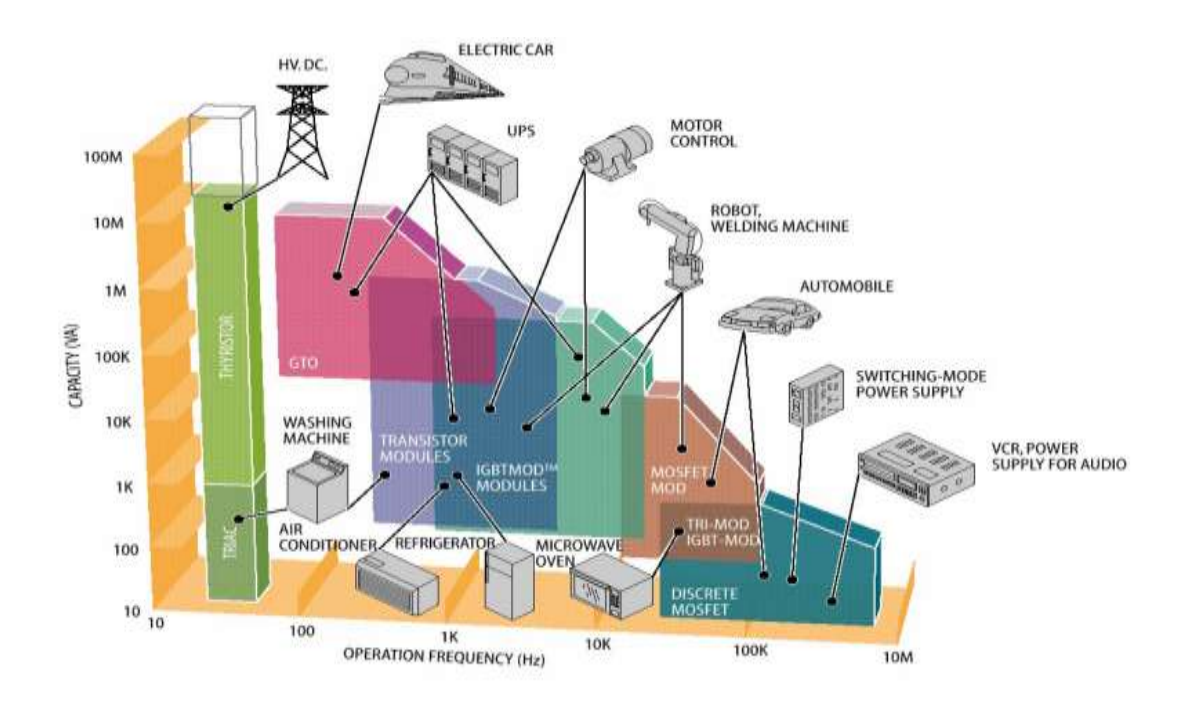


Figure (III-2): Les déférents domaines d'application de l'électronique de puissance

En ce qui concerne les signaux de commande on doit indiquer les instants d'amorçage et de blocage pour les composants, ces derniers en électronique de puissance sont déterminés par les niveaux de la puissance et de la fréquence de commutation. En règle générale, plus les composants sont rapides (fréquence de commutation élevée).

#### III.2.1. La diode

La diode est un semi-conducteur non contrôlé comportant deux régions P (anode) et N (cathode) et qui ne laisse passer le courant que dans un seul sens, de l'anode vers la cathode.

Elle conduit quand l'anode est à une tension plus positive que celle de la cathode : elle se comporte alors comme un interrupteur fermé. Elle bloque le courant et se comporte comme un interrupteur ouvert si la tension d'anode devient moins positive que celle de la cathode. [3] [4] [8]

La diode possède les caractéristiques principales suivantes :

- à l'état passant
- une chute de tension composée d'une tension de seuil et d'une résistance interne,
- un courant maximum permanent admissible (ordre de grandeur, jusqu'à 5000 A RMS pour les composants les plus puissants);
- à l'état bloqué une tension maximale admissible qui peut dépasser 5 000 V crête.

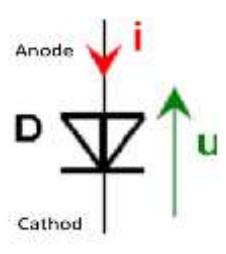


Figure (III-3): Symbole de la diode

#### Caractéristique statique de la diode

Le schéma d'une diode est représenté à la figure III-3. La convention réceptrice est utilisée. La diode est un composant dont le blocage et l'amorçage sont spontanés, c'est à dire que la commutation d'une diode est imposée par le circuit dans lequel elle est placée. On ne peut forcer, de manière externe, une diode à commuter. A l'état bloqué, la diode supporte une tension négative à ses bornes. Idéalement, la condition d'amorçage (pour passer de l'état bloqué à l'état passant) d'une diode est l'annulation de la différence de potentiel entre l'anode et la cathode :

#### Vd = 0; condition d'amorçage

Une fois à l'état passant, la diode le reste tant que le courant la traversant reste positif, la tension aux bornes de la diode étant nulle.

L'annulation de ce courant impose le blocage de la diode.

#### id = 0; condition de blocage

La caractéristique statique idéale d'une diode est représentée en rouge sur la figure III-4-. [3] [4] [8]

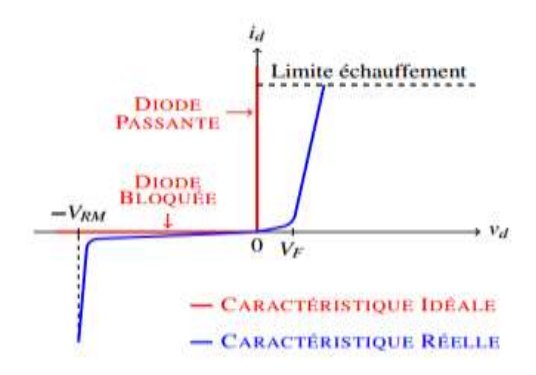


Figure (III-4): Caractéristique d'une diode

#### III.2.2. L'IGBT

C'est un transistor de puissance commandé par une tension appliquée à une électrode appelée grille ou «gate» isolée du circuit de puissance, d'où son nom «Insulated Gate Bipolar Transistor».

Ce composant nécessite des énergies infimes pour faire circuler des courants importants.

C'est aujourd'hui le composant utilisé en interrupteur tout ou rien dans la majorité des convertisseurs de fréquence jusqu'à des puissances élevées (de l'ordre du MW).

Ses caractéristiques tensions courant sont similaires à celles des transistors bipolaires, mais ses performances en énergie de commande et fréquence de découpage sont très nettement supérieures à tous les autres semi-conducteurs.

Les caractéristiques des IGBT progressent très rapidement et des composants hauts tension (> 3 Kv) et forts courants (plusieurs centaines d'ampères) sont actuellement disponibles.

Le transistor IGBT possède les caractéristiques principales suivantes :

- une tension de commande permettant la mise en conduction et le blocage du composant.
- à l'état passant
- une chute de tension composée d'une tension de seuil et d'une résistance interne,
- un courant maximum permanent admissible.
- à l'état bloqué, une tension directe maximale admissible.

Les transistors IGBT utilisés en variation de vitesse peuvent fonctionner à des fréquences de quelques dizaines de kilohertz. [3]

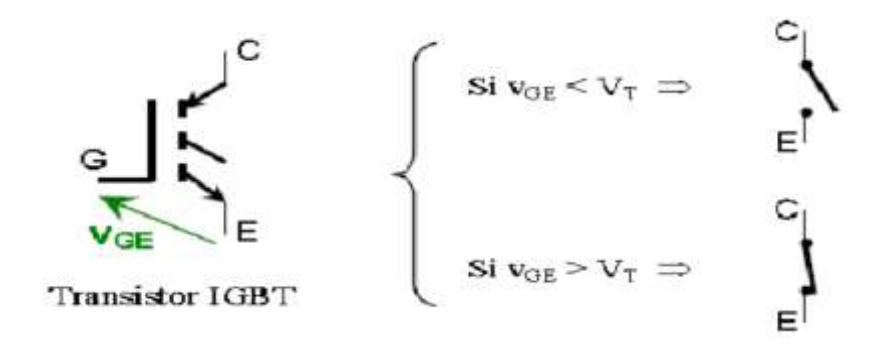


Figure (III-5): symbole et principe de commutation d'un IGBT

#### III.3. Choix du variateur de vitesse

Les technologies d'entrainements à vitesse variable pour moteurs asynchrones sont nombreuses et viennent compléter les technologies disponibles pour les moteurs à courant continu et les moteurs synchrones.

Le choix de la technologie et de la structure du convertisseur dépend de nombreux facteurs lie à l'application visée.

#### **III.3.1. Facteurs techniques:**

Parmi les principaux facteurs techniques de choix figurent :

- la puissance et la vitesse nominales.
- le régime d'utilisation (utilisation en régime permanent ou intermittent).
- la plage de variation de vitesse et le domaine de fonctionnement dans le plan puissance-vitesse (1 quadrant, 2 quadrants, 4quadrants).
- le type de machine entraînée (inertie, caractéristique de couple résistant selon la vitesse).
- la précision de contrôle de couple et de vitesse.
- la tension du réseau d'alimentation.
- les contraintes d'installation (place disponible, degrés de protection, etc.). [6]

# III.3.2. Facteur économique

Enfin, un critère essentiel est bien sur le cout total d'investissement de l'entrainement comprenant le cout du variateur, du moteur et de leur installation.

Le cout d'exploitation de l'entrainement (maintenance, cout d'indisponibilité, pertes énergétiques) est un critère économique supplémentaire de choix. [6]

Enfin dans notre cas on a opté pour les diodes de puissance ainsi que l'IGBT, pour des raisons techniques et économiques cité dans les points précédente.

# III.4. : structure d'un variateur de vitesse :

Le variateur fournit au moteur asynchrone une onde de tension à amplitude et fréquence variables tout en maintenant le rapport tension et fréquence sensiblement constante. En modifiant la fréquence de la tension d'alimentation du moteur, le variateur permet de modifier la vitesse du champ tournant du stator et donc la vitesse de rotation du moteur. La génération de cette onde de tension est réalisée par un dispositif électronique de puissance schématisé sur la figure suivante : [7]

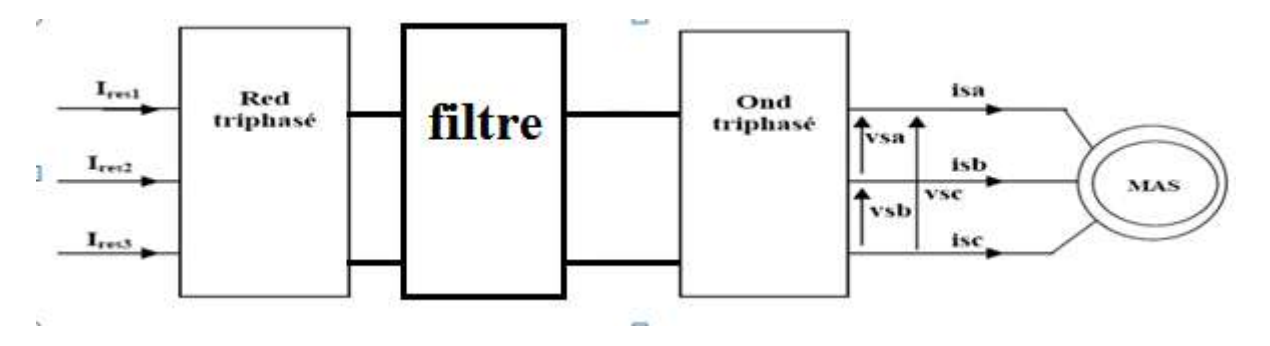


Figure (III.6): structure d'un variateur de vitesse

#### III.4.1. Modélisation du redresseur

Les redresseurs sont les convertisseurs de l'électronique de puissance qui assurent la conversion alternative continue (AC/DC). Alimentés par une source de tension alternative, ils permettent d'alimenter en courant continu le récepteur branché à leur sortie. Comme c'est sous cette seconde forme que l'énergie électrique est presque toujours générée et distribuée, les redresseurs ont un très vaste domaine d'applications.

On utilise des redresseurs chaque fois qu'on a besoin des sources continues sachant que l'énergie électrique est disponible en alternative.

# III-4-1-1 La structure d'un redresseur

La structure à étudier est le redresseur triphasé en pont (hexaphasé) d'indice de pulsation p égal à six donné par la figure (III.7). Le pont redresseur étant alimenté par une source triphasée.

Les tensions simples des réseaux triphasés équilibrés directs sont :

$$V_{1} = Vm.\sin(\omega t - \varphi)$$

$$V_{2} = Vm.\sin(\omega t - \varphi - 2\pi/3)$$

$$V_{3} = Vm.\sin(\omega t - \varphi - 4\pi/3)$$
(III.1)

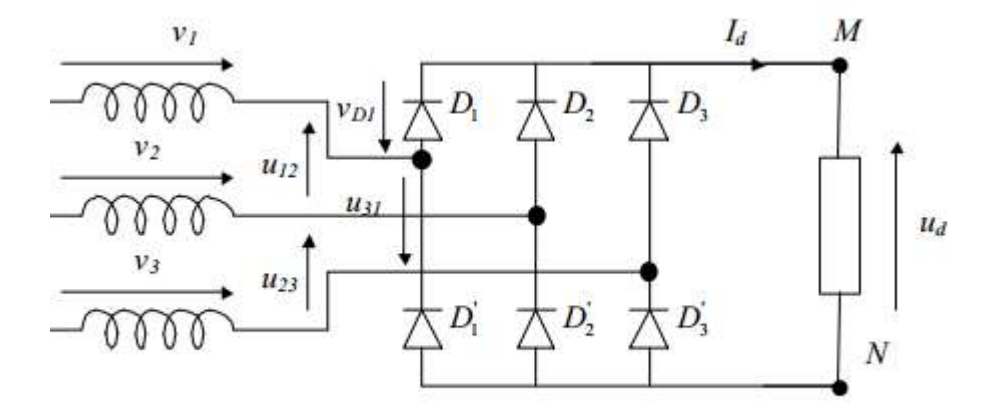


Figure (III.7): Redresseur triphasé a pont de diode PD3

# III.4.1.2. Etude de la tension de charge

Dans le cas général, les q enroulements, sièges des q tensions alternatives V1, V2,..., Vq Le premier groupe, D1, D2, ..., Dq, forme un commutateur "plus positif" et réunit M à la plus positive des bornes 1, 2, ..., q. Le second groupe, D1', D2', ..., D q', forme un commutateur "plus négatif" et relie N à la plus négative des bornes 1, 2, ..., q. Cet ensemble de 2q diodes est couramment appelé pont de diodes.

La tension redressée Ud, recueillie entre M et N, est égale, à chaque instant, à la plus grande différence entre les tensions d'entrée. Le montage effectue donc un double choix, d'où le sigle PD (parallèle double) utilisé.

Deux diodes d'un même bras ne peuvent conduire simultanément. Lorsque D1conduit, l'une des deux diodes D2'etD3' conduit également. Il en vient que D1conduit lorsque V1 est supérieur à V2 et V3. [8]

Donc:

Lorsque 
$$V_1>V_3>V_2$$
 D1 et D'<sub>2</sub> conduisent :  $u_d=v_1-v_2$ ;  
Lorsque  $V_1>V_3>V_2$  D1 et D'<sub>3</sub> conduisent :  $u_d=v_1-v_3$ ; (III.2)  
Lorsque  $V_1>V_3>V_2$  D1 et D'<sub>3</sub> conduisent :  $u_d=v_2-v_3$ ;

Chaque diode conduit ainsi pendant un tiers de période (on dira que l'indice de commutation de ce montage est q=3) tandis que la tension redressée se compose de six portions de sinusoïde des par période T (on dira que l'indice de pulsation est p=6); ces deux indices avaient des valeurs égales dans le cas des montages parallèles simples. [8]

U32 : pour 
$$\theta \in [0, \pi/6]$$
  
U12 : pour  $\theta \in [\pi/6, \pi/2]$   
U13 : pour  $\theta \in [\pi/2, 5\pi/6]$   
U23 : pour  $\theta \in [5\pi/6, 7\pi/6]$   
U21 : pour  $\theta \in [7\pi/6, 9\pi/6]$   
U31 : pour  $\theta \in [9\pi/6, 11\pi/6]$   
U32 : pour  $\theta \in [11\pi/6, 12\pi/2]$ 

#### III.4.1.3. La tension redressée

Sur la figure III-8, on a représenté l'allure de la tension redressée Ud ainsi que la tension aux bornes de la diode D1 (VD1).

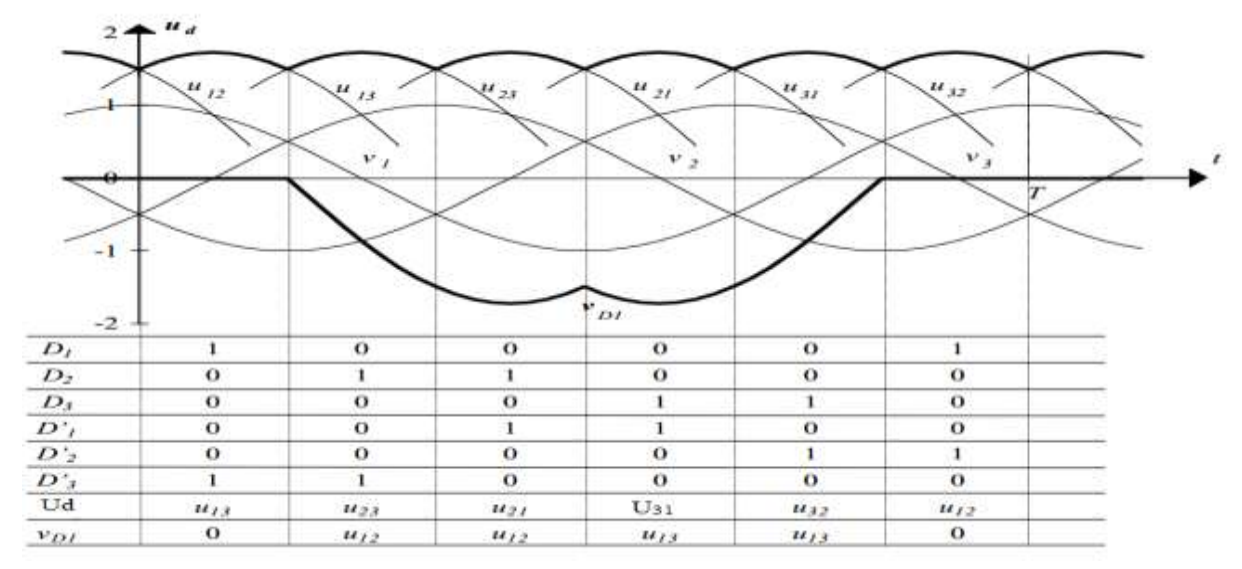


Figure (III.8): Montage PD3-tension redressée

Sur l'intervalle  $[-\pi 6/; \pi 6]$ , la tension de sortie du PD3 est égale à la tension composée u12(t). La tension moyenne de sortie peut alors s'exprimer de la manière suivante :

Pour déterminer la tension aux bornes de la diode D1, il suffit de déterminer si elle est passante et, le cas échéant quelle est la diode à cathode commune qui l'est :

$$\begin{array}{ll} \text{Intervalle } [\,\frac{\pi}{6},\,\frac{5\pi}{6}\,]:D_1 \text{ passante} & V_{D1}\,(t) = 0 \\ \text{Intervalle } [\,\frac{5\pi}{6},\,\frac{9\pi}{6}\,]:D_2 \text{ passante} & V_{D1}\,(t) = u_{12}(t) \\ \text{Intervalle } [\,0,\,\frac{\pi}{6}\,] \text{ et } [\,\frac{9\pi}{6},\,2\pi]:D_3 \text{ passante} & V_{D1}\,(t) = u_{13}(t) \end{array}$$

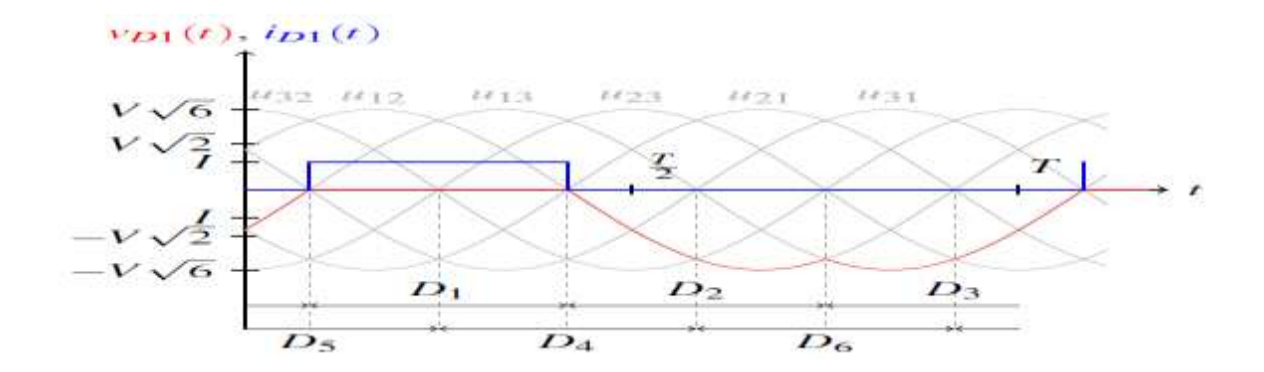


Figure (.III.9): Tension et courant de la diode D1

De façon à dimensionner au mieux une diode, il est impératif de connaître la tension maximale qu'elle est amenée à tenir en inverse  $(V_{RM})$ , ce paramètre est défini grâce à la figure III.9 :

$$VRM=V\sqrt{3}$$
 (III.5)

#### III.4.1.4.Etude des courants

Chaque enroulement secondaire est connecté à deux diodes Di, Di' (i=1, 2, 3). Il est parcouru par Ich pendant l'intervalle (T/q) ou la diode du premier groupe conduit, et par (Ich) pendant l'intervalle de durée (T/q) ou c'est celle du second groupe qui conduit. Ainsi par exemple pour la première phase on donne.

#### III.4.1.5. La valeur efficace de courant

Is1 eff = 
$$\sqrt{\frac{1}{T}(Ich^2.2\frac{T}{q})}$$

$$q=3 \qquad Is1eff = Ich\sqrt{\frac{2}{q}}$$

$$Is1eff = Ich\sqrt{\frac{2}{3}}$$
III.6

# III.4.1.6. L'équation mathématique du redresseur

Le redresseur peut être schématisé par la figure suivante :

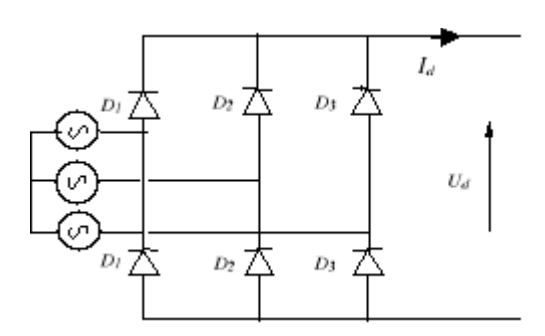


Figure (.III.10): Redresseur PD3 à diodes

Di conduit si Vi = max (Vj); j=1,2,3; i=1,2,3

Di' conduit si Vi =  $\min (Vj)$ ; j=1,2,3; i=1,2,3

Pendant chaque séquence de conduction la tension de sortie du redresseur Ud est : [9]

$$Ud=Vi-Vk$$
 (III.7)

Avec:

Vi = max (V1, max (V2, V3))

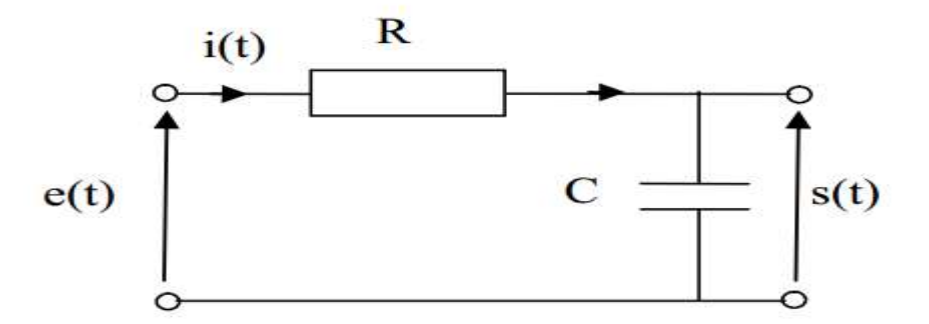
Vk = min (V1, min (V2, V3))

Par conséquent :

$$Ud=max (Vj) - min(Vj) ; j=1, 2,3.$$
 (III.8)

# III.4.2. Modélisation de filtre

Un circuit RC est un circuit électrique, composé d'une résistance et d'un condensateur montés en série. Dans leur configuration série, les circuits RC permettent de réaliser des filtres électroniques passe-bas. La constante de temps  $\tau$  d'un circuit RC est donnée par le produit de la valeur de ces deux éléments qui composent le circuit.



Figure(III.11): La structure de filtre.

Le filtre placer après le redresseur est un filtre passe bas de 1ere ordre. Il permet d'obtenir à l'enter de l'onduleur une tension U sensiblement constante, même si la tension U est ondulée (tension fournis par le redresseur).

Le rôle de filtre est de stabilisée la tension après le redressement de sorte qu'elle soit une tension continue et prête pour alimenter notre onduleur

En appliquant la deuxième loi de Kirchhoff ainsi que la loi de Faraday, on obtient le modèle mathématique de ce filtre

$$e(t) = Ri(t) + S(t) \qquad avec \qquad i(t) = C dS(t)/dt \qquad (III.9)$$

D'où l'équation différentiel de système :

$$RC(dS/dt) + S(t) = e(t)$$
 (III.10)

La transformée de Laplace de cette équation différentielle soit comme suite

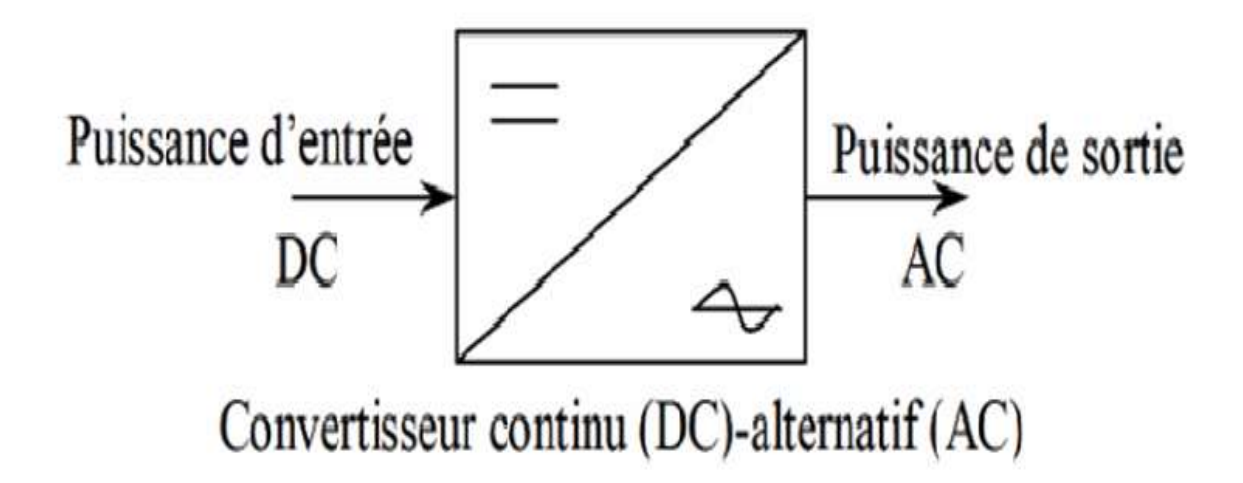
$$RC P S(P) + S (P) = E (P)$$
 (III.11)

D'où 
$$H(P) = S(P)/E(P) = 1/(1 + RCP)$$
 (III.12)

#### III.4.3. Modélisation de l'onduleur

L'onduleur est la dernière partie du variateur de vitesse située avant le moteur. Il fournit des grandeurs électriques variables au moteur. Dans tous les cas, l'onduleur est composé de semi-conducteurs disposés par paires en trois bras. Les semi-conducteurs de l'onduleur commutent sur des signaux en provenance du circuit de commande.

L'onduleur de tension est un convertisseur statique qui permet de fournir une tension alternative d'amplitude et de fréquence réglables à partir d'une source de tension continue. L'onduleur de tension est constitué de cellule de commutation généralement à transistor ou thyristor pour les grandes puissances. Donc Les onduleurs sont des convertisseurs statiques continu-alternatif permettant de fabriquer une source de tension alternative à partir d'une source de tension continue. [6]



Figure(III.12): Le schéma symbolique de l'onduleur

# III.4.3.1. Propriété de l'onduleur

Un onduleur dépend essentiellement de la nature du générateur et du récepteur entre lesquels il est monté. Cela conduit à distinguer en respectant la règle de connexion des sources:

- ✓ Les onduleurs de courant alimentés par une source de courant continu.
- ✓ Les onduleurs de tension alimentés par une source de tension continue et alimentant un récepteur de courant alternatif (exemple machine asynchrone), cas de notre étude.

#### III.4.3.2.Domaine d'utilisation

La plupart des applications des onduleurs triphasés de tension se résument aux : Commande des moteurs alternatifs, filtre actif, systèmes d'alimentations sans interruption(ASI) utilisés, par exemple, pour réaliser des alimentations de sécurité, on s'efforce alors de maintenir la tension de sortie constante quelle que soit la charge.

Les onduleurs de tension à fréquence variable servent à réaliser des entraînements à vitesse variable avec moteur à courant alternatif. Les onduleurs de courant sont utilisés dans les entraînements à vitesse variable des moteurs à courant alternatif.

# III.4.3.3. Modélisation de l'onduleur à deux niveaux

L'onduleur à deux niveaux est constitué de trois bras, chaque bras comporte deux interrupteurs il est schématisé dans la figure : [6] [7]

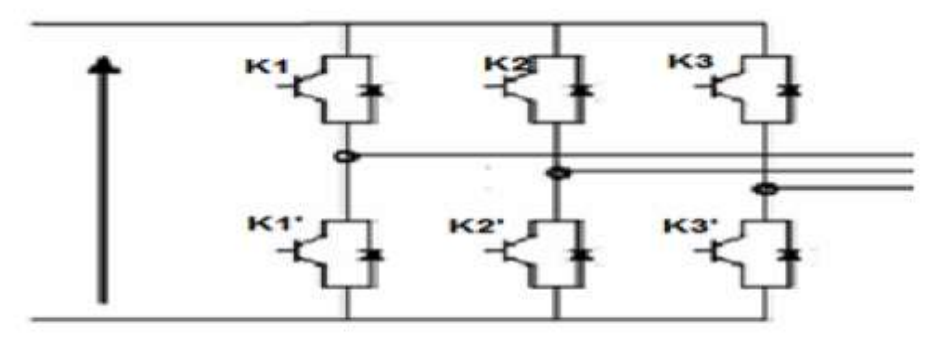


Figure. (III.13): Structure de l'onduleur à deux niveaux

En mode commendable, le bras est un commutateur à deux positions qui permet d'obtenir à la sortie de l'onduleur deux niveaux de tension.

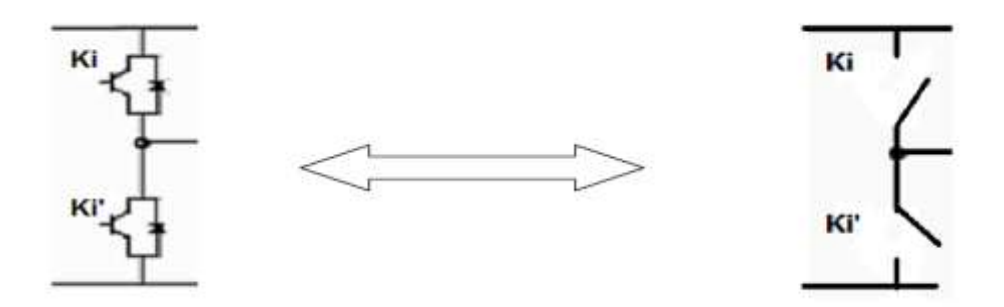


Figure. (III.14): un bras de l'onduleur à deux niveaux

Le schéma principal de l'onduleur est donné sur la figure suivante :

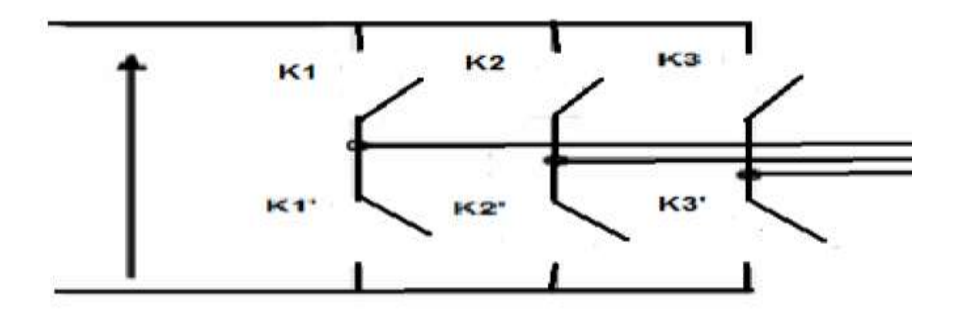


Figure.(III.15): schéma principale de l'onduleur

Les couples d'interrupteur (K1et K1'), (K2 et K2'), (K3 et K3') doivent être commandés de manière complémentaire pour assurer la continuité des courants alternatifs dans la charge d'une part et d'éviter le court-circuit de la source d'autre part.

Pour simplifier l'étude, on va associer à chaque bras une fonction logique de connexion Fj (j = 1, 2,3)

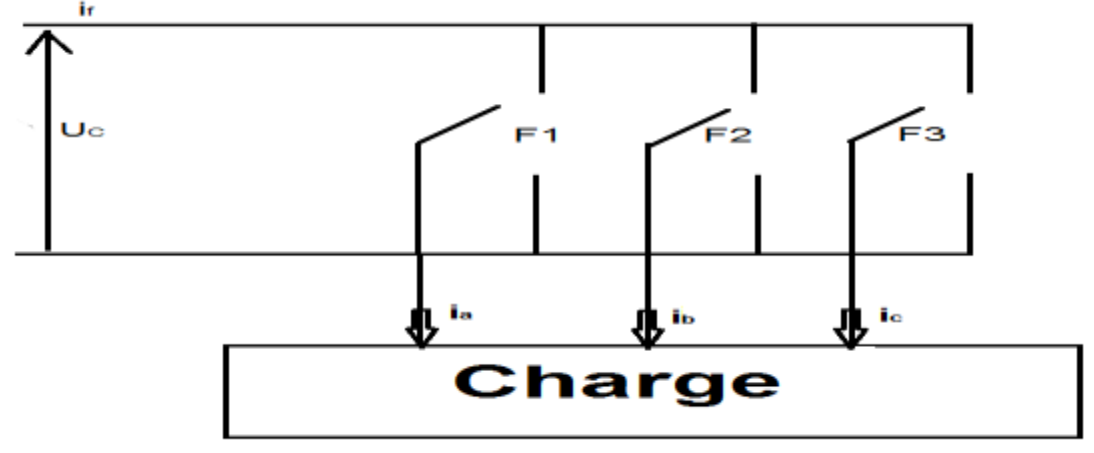


Figure. (III.16): Représentation des interrupteurs

Les commandes des interrupteurs d'un bras sont complémentaires du fait que chacun des trois bras de l'onduleur ne peut avoir que deux états logiques possibles (0, 1). Ces deux états peuvent être considérés comme une grandeur booléenne.

Les tensions de lignes délivrées par l'onduleur sont :

$$\begin{cases} U_{ab} = Uc (F_1-F_2) \\ U_{bc} = Uc (F_2-F_3) \\ U_{ca} = Uc (F_3-F_1) \end{cases}$$
 (III.14)

On suppose que la charge est équilibrée et le neutre est isolé c.-à-d. :

$$Va+Vb+Vb=0 (III.15)$$

Sachant que:

$$\begin{cases}
Uab = Va - Vb \\
Ubc = Vb - Vc \\
Uca = Vc - Va
\end{cases}$$
(III.16)

En tenant compte les trois relations, on obtient les tensions simples suivantes:

$$Va = Uc/3 = (2F_1-F_2-F_3)$$

$$Vb = Uc/3 = (-F_1+2F_2-F_3)$$

$$Vc = Uc/3 = (-F_1-F_2+2F_3)$$
(III.17)

Le système des équations peut s'écrire sous la forme matricielle :

$$\begin{pmatrix}
V_{a} \\
V_{b} \\
V_{c}
\end{pmatrix} = Uc/3 \begin{pmatrix}
2 - 1 & -1 \\
-1 & 2 & -1 \\
-1 & -1 & 2
\end{pmatrix} \begin{pmatrix}
F_{1} \\
F_{2} \\
F_{3}
\end{pmatrix}$$
(III.18)

# III.5. Commande du l'onduleur

Il y on a plusieurs technique de commande de l'onduleur parmi eux On distingue les stratégies suivante :

- a- commande pleine onde (dite 180°).
- b- Commande décalée.
- c- Commande à Modulation de largeur d'impulsion (MLI).

Les tensions obtenues aux bornes du récepteur (la charge) pour les onduleurs triphasés conventionnels présentent plusieurs harmoniques et c'est le cas pour les stratégies (a et b), il est donc nécessaire de chercher à se rapprocher d'une forme d'onde sinusoïdale. Pour cela on fait appel à la technique de modulation de largeur d'impulsion (MLI). Cette dernière est la méthode la plus répandue.

Dans notre cas on va adopter la méthode (MLI) pour ça simplicité d'application et pour le rôle qui jeu dans le filtrage de quelques harmonies. [10] [11] [12]

# III.5.1. Principe de la commande en MLI des onduleurs triphasés

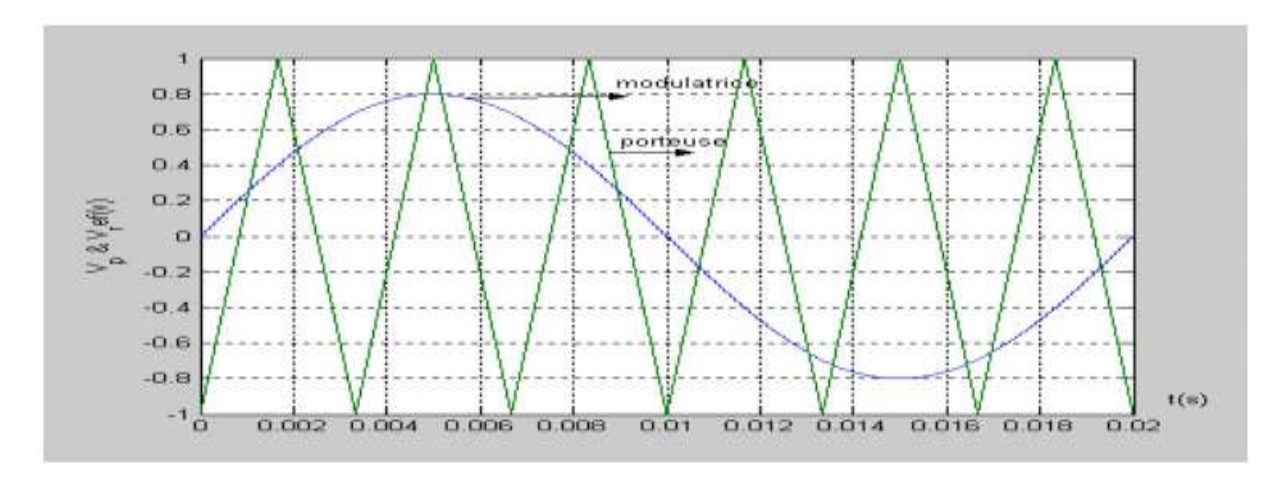
Dans un onduleur à modulation de largeur d'impulsion, au lieu de former chaque alternance d'une tension de sortie avec un seul créneau rectangulaire, on la forme de plusieurs créneaux de largeur convenable.

Les instants de fermeture et d'ouverture des interrupteurs sont donnés par les intersections de signal de référence avec la porteuse. [10]

# III.5.2. Principe de la modulation de largeur d'impulsion

La conversion continue alternative est assurée par les commutations des interrupteurs de l'onduleur qui vont ainsi effectuer des connexions temporaires entre les bonnes de la source d'alimentation continue et les lignes de la charge triphasée alternative.

Le transfert d'énergie est contrôlé par le rapport entre intervalles d'ouverture et de fermeture (rapport cyclique) de chaque interrupteur, donc par la modulation de largeurs d'impulsions de contrôle de ces interrupteurs (MLI), cette technique est basée sur la comparaison d'un signal de référence appelé aussi modulatrice d'amplitude Ar et de fréquence f, avec un signal appelé porteuse d'amplitude Ap et de fréquence fp très élevée. [11]



Figure(III.17): Principe de la modulation

# III.5.3. Caractéristique de la modulation de largeur d'impulsion (MLI)

- Les paramètres essentiels de la MLI sont :
  - La fréquence de la modulation : fp

- L'indice de modulation m = fp/fr (III.19)

- Le coefficient de réglage en tension r :

$$r = Ar/Ap$$
 (III.20)

Avec:

Ar : Amplitude de la référence.

*Ap* : Amplitude de la porteuse.

# Remarque

- -La modulation montre que plus « m » est grand et plus la neutralisation des harmoniques est efficace, d'autre part on cherche à obtenir une valeur de r la plus élevée possible.
- -La modulation est dite synchrone si « m » est un nombre entier cela conduit à une tension de sortie « U' » qui se reproduit identiquement à elle-même tous les T=1/f.
- Dans certains cas la modulation est asynchrone, notamment quand à fréquence de modulation *fp* donnée, on fait varier de façon continue la fréquence de la référence.
- On ne pourra jamais fonctionner avec un rapport de réglage égal a « 1 », car il faut toujours laisser une durée suffisantes aux intervalles de conduction et de blocage des interrupteurs d'un même bras.
- Le schéma synoptique de la commande par modulation triangulaire- sinusoïdale triphasé est donné par la figure suivante :

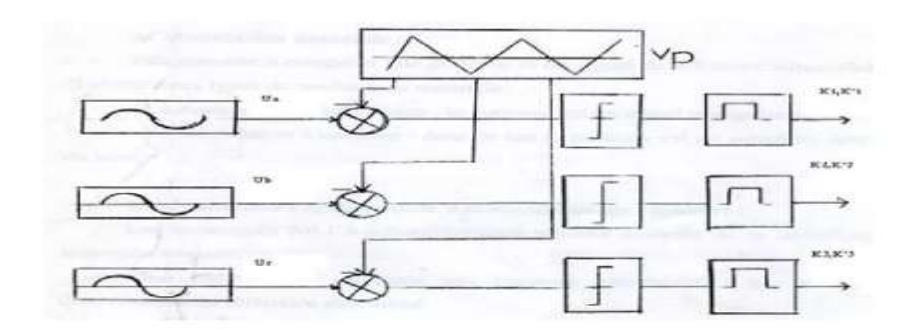


Figure. (III.18): Schéma synoptique de la commande en MLI (triphasé)

# III.5.4. Objectif de la Technique MLI

Les objectifs principaux d'une MLI sont les suivants:

- -Obtenir dans la charge électrique des courants dans la variation est proche de la sinusoïdale par le contrôle de l'évolution des rapports cycliques et grâce à une fréquence élevée des commutations des interrupteurs par rapport à la fréquence des tensions de sortie
- Imposer à l'entrée de l'onduleur un courant de type continu avec des composantes alternatives d'amplitudes réduites et de fréquences élevées.
- Permettre un contrôle fin de l'amplitude du fondamentale des tensions de sortie généralement sur la plus grande plage possible et pour une fréquence de sorties larges variable.
- -Élimination de certaines harmoniques de tension.
- -Elle repousse les harmoniques vers des fréquences.

# III.6. Dimensionnement des paramètres du variateur de vitesse

#### III.6.1 Introduction

Le choix des composants du convertisseur c'est la partie la plus importante dans l'étude d'un variateur de vitesse, ce choix est basé sur des calculs qui tiennent compte des différentes limites thermiques, de la fréquence ainsi que les pertes sans oublier le coût et la disponibilité.

Afin de dimensionner le variateur de vitesse, il faut connaître les paramètres de sortie et d'entrée de chaque partie (leurs paramètres de sortie constituent les paramètres d'entrée de l'autre montage situé en amont).

Application pour notre moteur:

Pn = 1.5 KW.

Un = 220/380 V.

In = 4.3 A.

 $\Omega$ = 1500 tr/min.

p = 2.

 $\cos \theta = 0.91$ 

# III.6.2. Calcul du montage Onduleur

# III.6.2.1.Tension d'entrée

On a le coefficient de réglage en tension r qui est égal au rapport de l'amplitude de l'onde de référence à la valeur de crête de l'onde de modulation :

Pour calculer le coefficient de régulation en tension, au début on connaît la valeur de la tension redressée, et on va donner plusieurs valeurs pour r jusqu'à ce que on va avoir la tension désirée à la sortie de l'onduleur.

Le tableau suivant donne la méthode utilisé pour la calcule de r :

La tension redressée (V)	La valeur de	La tension a sortie de		
	« r »	l'onduleur (V)		
539	0.71	382		
539	0.72	388		
539	0.73	393.47		
539	0.74	398.86		
539	0.75	404.25		
539	0.76	409.64		
539	0.77	415.03		

Pour avoir une tension de 400V la valeur de r qui correspond c'est r = 0.75

# III.6.2.2.Courant d'entré

Pour calculer la valeur de courant d'entré on utilise la loi standard suivante :

$$i_e = I'\sqrt{2}\sin(\omega t + \pi/3 - \varphi)$$

La valeur moyenne d'après [Guy SEGUIER 95] :

Imax = 
$$I'\sqrt{2} = 4,3\sqrt{2} = 6,1 \text{ A}$$
  
Imax = 6,1 A

D'où la valeur moyenne est donnée comme suite :

$$Imoy = 3/\pi \text{ I'}\sqrt{2}\cos\varphi$$

AN: Imoy = 
$$3/\pi$$
 . 4,3 .  $\sqrt{2}$  . 0,91 = 5,29 A

Pour la valeur efficace d'après [Guy SEGUIER 95]

Ie eff = I'. 
$$\sqrt{2}\sqrt{\frac{1}{2} + \frac{3}{4} \cdot \frac{\sqrt{3}}{\pi} \cdot \cos 2\varphi}$$

AN: on a  $\cos \varphi = 0$ ,  $91 \Rightarrow \varphi = 0.43rd = 24.5^{\circ} \Rightarrow \cos 2 \varphi = 0$ , 65.

Ie moy = 
$$4.3\sqrt{2}\sqrt{(\frac{1}{2} + \frac{3}{4}) \cdot \frac{\sqrt{3}}{\pi}} \cdot 0,65 = 5,09A$$

[Ie moy =  $5,09A$ ]

Avec:

I': Le courant efficace dans une phase du moteur au régime nominal  $\varphi$ : L'angle de déphasage entre le courant et la tension de la même phase dans le même régime nominale.

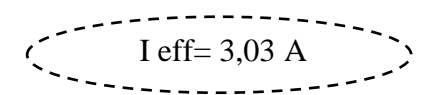
#### III.6.2.3.Le courant dans le semi-conducteur commandé

D'après [Guy SEGUIER 95] pour calculer le courant efficace dans le semiconducteur on utilise la loi suivante :

Ieff = I'. 
$$\sqrt{2}$$
.  $\sqrt{\frac{\pi - \varphi}{4\pi} + \frac{\sin 2\varphi}{8\pi}}$ 

AN:  $\sin 2\varphi = 0.85$ 

Ieff = 4,3. 
$$\sqrt{2}$$
.  $\sqrt{\frac{\pi - 0,43}{4\pi} + \frac{0,85}{8\pi}}$ 



La valeur moyenne:

AN: I moy = I'. 
$$\sqrt{2}$$
.  $(1 + \cos\varphi)/2\pi$ 

I moy = 
$$(4,3\sqrt{2} (1+91))/2 \pi = 1,84$$

#### **Choix de transistor IGBT:**

En utilisant les documents du constructeur [Data Book], on choisit les caractéristiques du Transistor suivant :

de V	Valeurs maximales			Caractéristiques	Temps de commutation		
	V <sub>CE</sub> (V)	I <sub>C</sub> å 25°C (A)	I <sub>CM</sub> (A)	V <sub>CE</sub> (on) (V)	td (on) ns	td (off)	tf (fall) ns
F50A06 GF	600	50	100	3	400	400	150

Avec:

VCE : tension entre le collecteur et l'émetteur

IC à 250C : courant de collecteur à 250C

ICM: courant maximum du collecteur

VCE (on) : chute de tension à l'état passant

td (on): retard à l'ouverture

td (off): retard à la fermeture

tf (fall): temps de descen

# III.6.3. Calcul du montage redresseur :

Le but de calcul c'est de choisir les composants semi-conducteurs

- On a les paramètres de redresseur :

✓ Entrée : Alimentation 220/380 V.
✓ Sortie : Ud = 539 V, Id = 1,84 A.

#### **IV.6.3.1.Le courant :**

Chaque diode est traversée par un courant moyen qui se calcule comme suite : [Guy SEGUIER 95]

$$I moy = Ie/q$$

AN: 
$$I \text{ moy} = 1,84/3 = 0,61 \text{ A}$$

$$Imax = Imoy * \sqrt{2}$$

$$Imax = 1.84*\sqrt{2} = 2.6$$

$$Imax = 2.6 A$$

# III.6.3.2. La tension:

 $V \max = 2 V \max$ ; si q est paire.

V max = 2 Vmax cos  $(\pi/2q)$  si q est impaire.

AN : on a q = 3

V max = 2. 220. 
$$\sqrt{2} \cos \pi/6 = 539 \text{ V}$$
  
V max = 539 V

# Choix de diode:

D'après le DATABOOK, on a choisi la diode qui figure dans le tableau suivant :

Numéro de Type	matériaux	Classification	Valeurs maximales		Caractéristiques	
1000			$V_{R}$	I	$I_{R}$	$V_{\rm F}$
1N5190A S	s	RE	(V)	(A)	(µA)	(V)
			600	4	22	1.1

# III.6.4. Calcul du filtre passe bas :

# III.6.4.1. Calcul de la capacité :

D'après [Guy SEGUIER 95]. On a:

$$c \ge \pi/2\omega \cdot (1/\Delta U max)$$
.

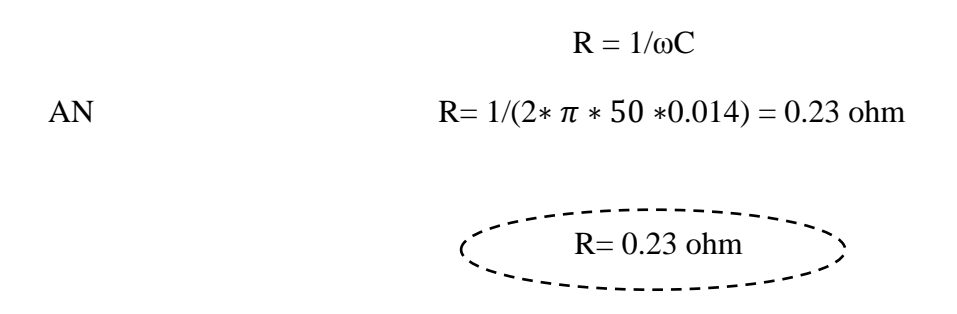
AN:

$$\Delta = (5 \div 100)\%$$

$$C = \frac{\pi}{2 \cdot 2 \cdot \pi \cdot 50} \cdot (5, 55/400 \cdot (0, 05/100)) = 14 \text{ mf}$$

$$C = 14 \text{ mf}$$

# III.6.4.2. Calcul de la résistance de filtre



# **III.7 Conclusion**

Dans ce chapitre on a pu déterminer les semi-conducteurs qu'on va utiliser en s'appuyant sur trois facteurs principaux qui sont le facteur économique, technique et la puissance consommer par le moteur.

La partie dimensionnement nous a permis de calculer les courants qui circulent dans les semi-conducteurs dans le but de choisir les composants qui convient pour le variateur de vitesse.

Les modèles mathématiques obtenus de l'ensemble des parties qui constitue le variateur de vitesse, vont permettre d'avoir un modèle de simulation acceptable, qui sera utilisé dans le dernier chapitre qui suit.

# **Chapitre IV**

# Simulation de l'ensemble qui constitue le variateur de vitesse et son association au MAS

# Introduction

Dans ce dernier chapitre on va procéder à la simulation de l'ensemble des systèmes qui constitue le variateur de vitesse, le redresseur et onduleur, par la suite on va associer ce dernier au moteur asynchrone et on va simuler l'ensemble d'abord à vide puis en charge pour deux vitesse de rotation différents.

Le modèle du moteur étant déjà validé, la première partie de la simulation va consister à valider le modèle de variateur ainsi que la commande MLI.

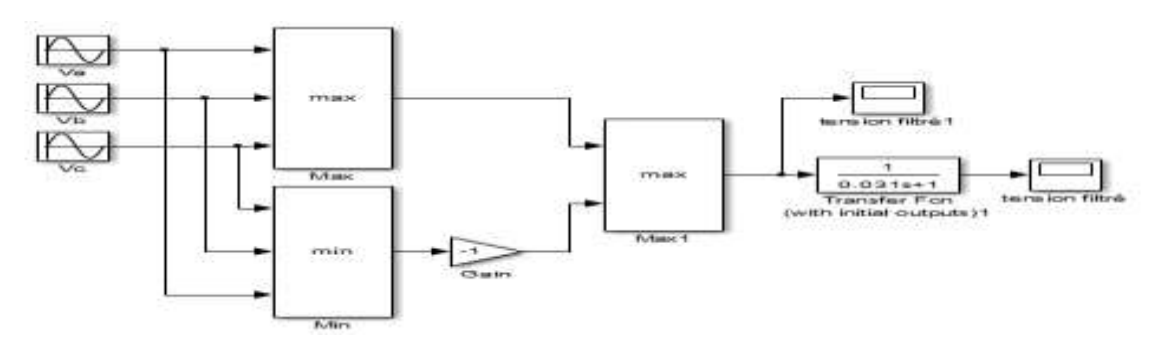
# IV.1. Simulation de l'ensemble qui constitue le variateur de vitesse

#### IV.1.1. Simulation de redresseur avec et sans filtre

# VI. 1.1.1. présentation de modèle

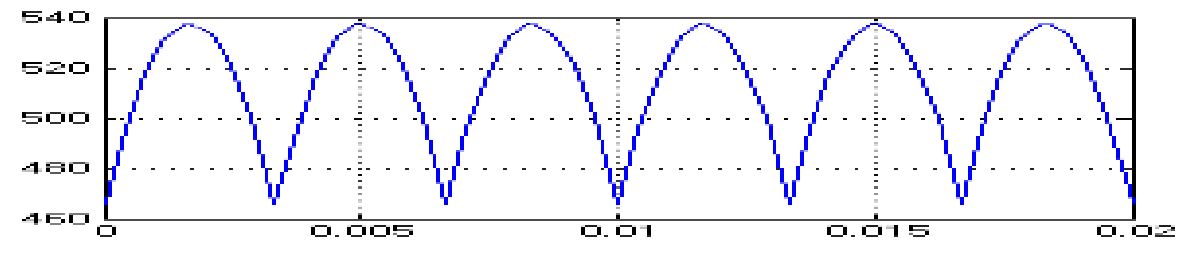
Le modèle de redresseur-filtre sur Matlab-Simulink est donné par la figure si dessous.

Ce modèle permet de récupérer en sortie la tension redressé avant et après le filtre pour un redresseur de type PD3



Figure(IV.1): Modèle d'un redresseur avec filtre sur MATLAB

# IV.1.1.2. Résultats simulation :



Figure(IV.2): La tension à la sortie de redresseur (sans filtre)

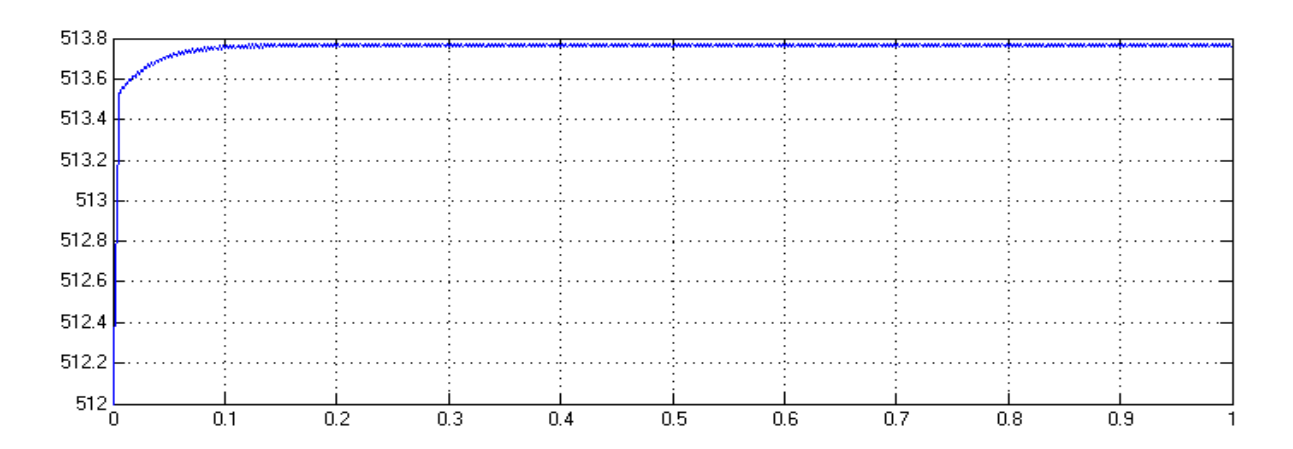


Figure (IV.3): La tension à la sortie du filtre

# IV.2. Simulation de l'onduleur

# IV.2.1. présentation du modèle

On présente ci-dessous le bloc Simulink, voir détailles dans annexe, d'un onduleur et ça commande MLI qui va permettre de visualiser l'evolution de la tesnion simple et compsé a la sortie de l'onduleur on considérant les entrées qui sont la tension redressée ainsi que les signaux de gachéttes générés par la commande MLI.

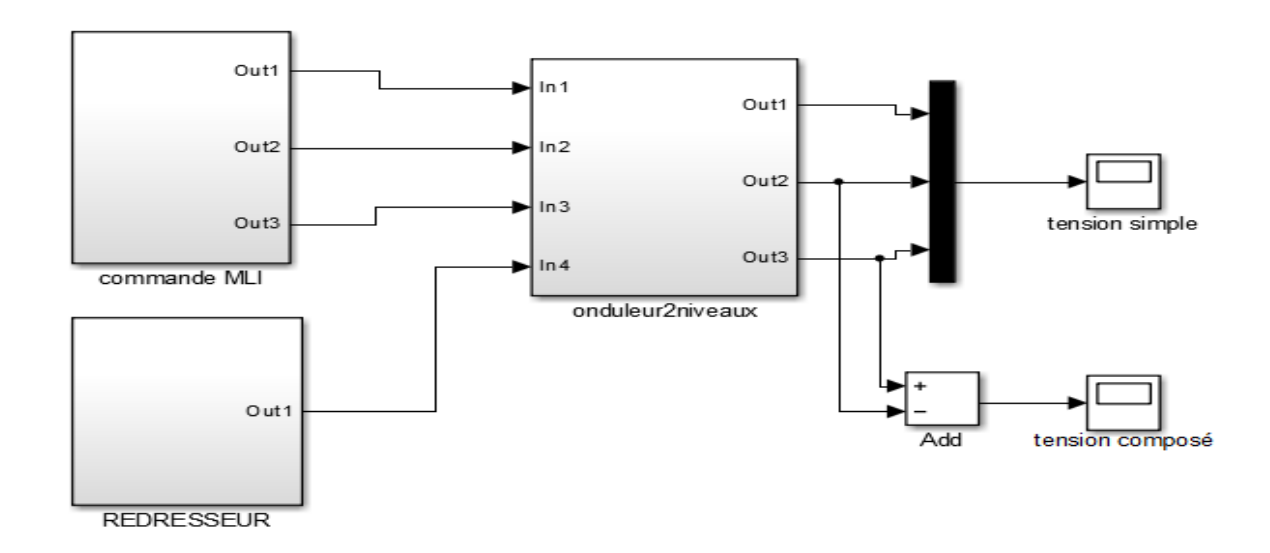


Figure (IV. 4): Modèle de l'onduleur et sa commande MLI sous MATLAB SIMILINK

# IV.2.2. Résultats de simulation :

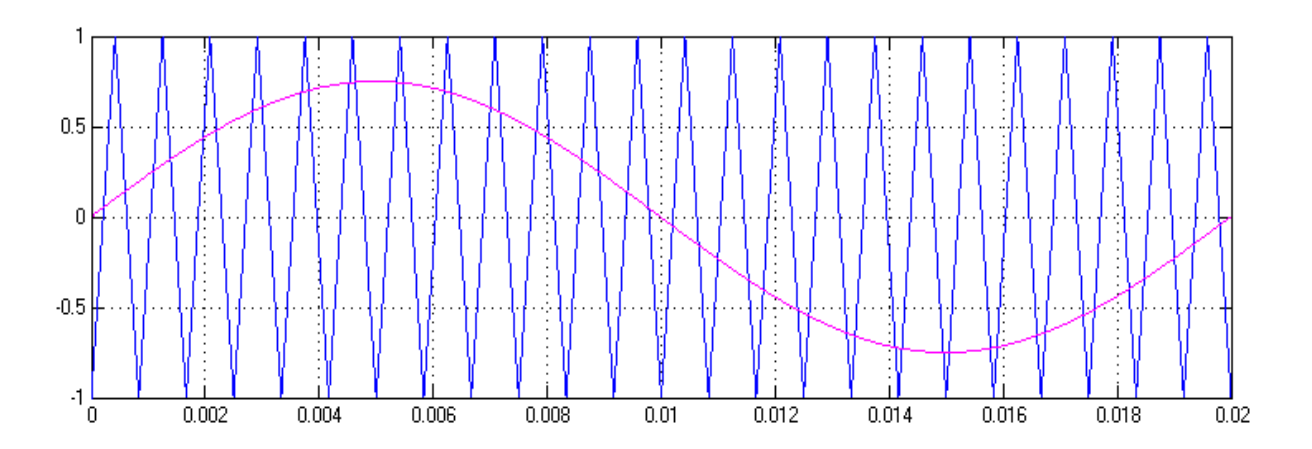


Figure (IV.6): la commande sinus-triangle

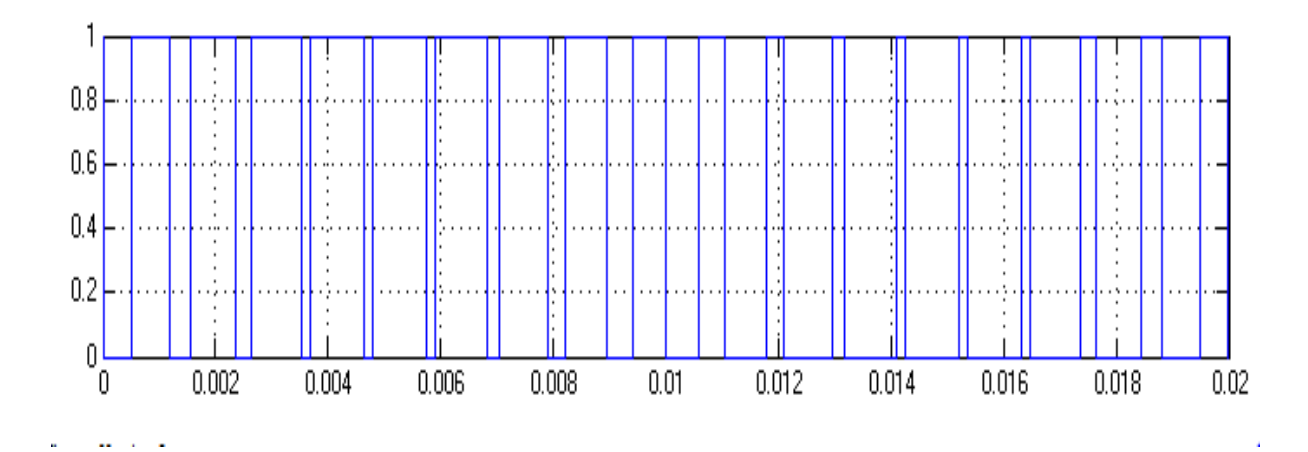


Figure (IV.7): les intervalles de conduction des intercepteurs

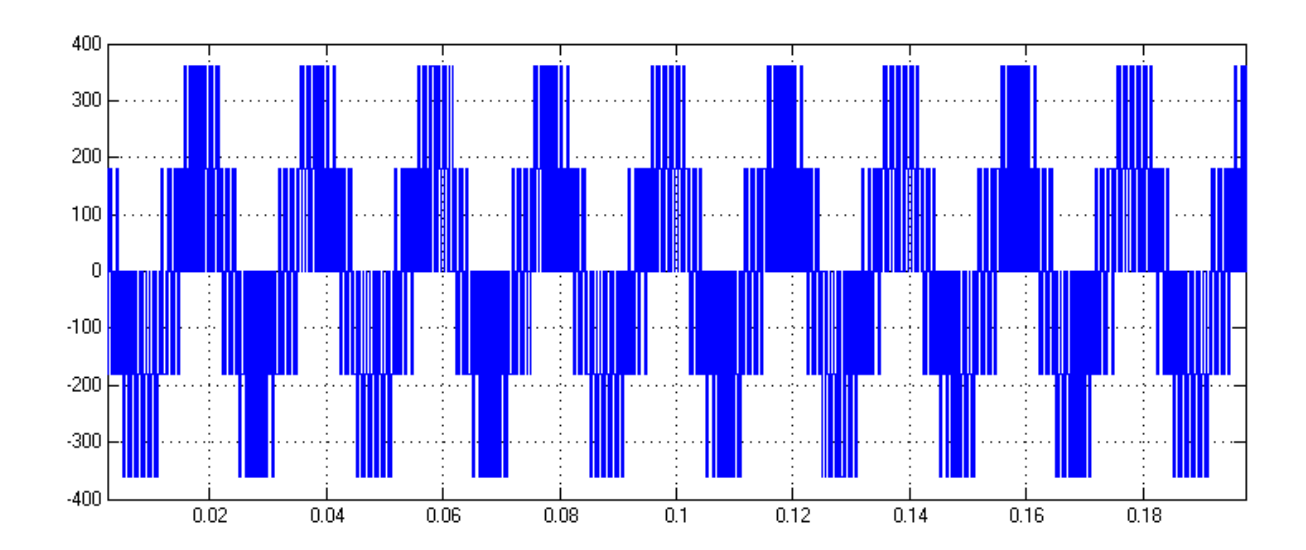


Figure. (IV.8): Tension simple Va à la sortie de l'onduleur



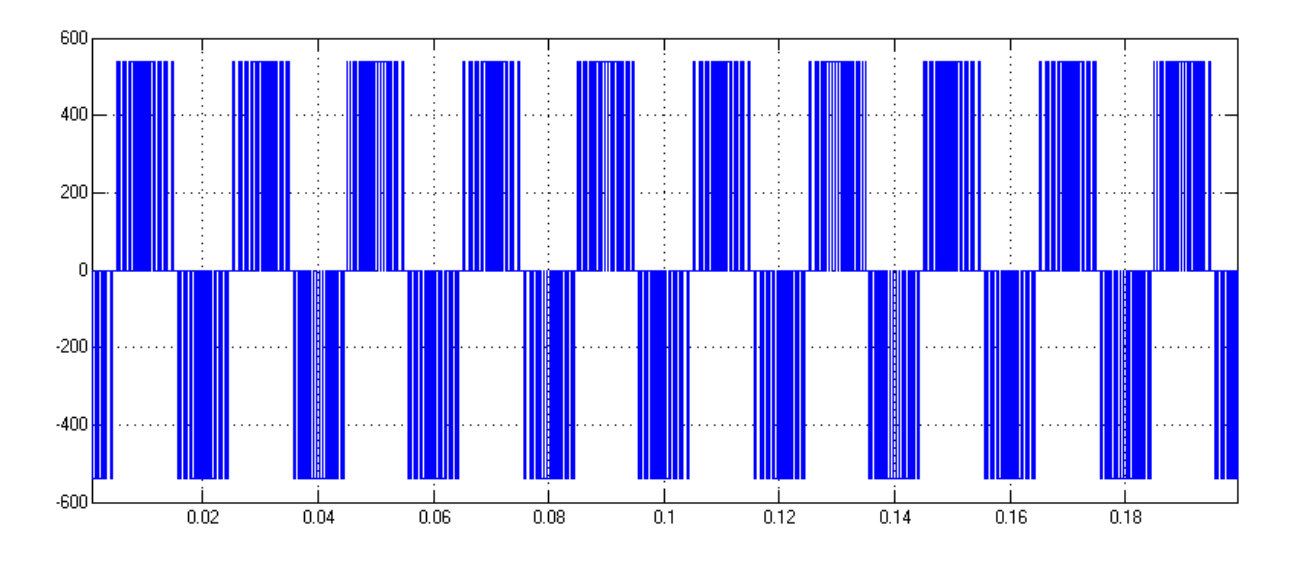


Figure (IV.9): la tension compsée V<sub>23</sub> à la sortie de l'onduleur

# IV.2.3. Interpretation des resultats de la simulation du variateur

On observat la figure VI.2 qui represente la tension redressé sans filtre que celle si correspond au maximum de valeurs instantanées des tension d'entrées triphasées, le faite d'associer un filtre au redresseur on emarque bien que la tension s'est lissée et cela bien sur et du la presense de filtre, figure IV.1, l'élimination des ondulations de tension permet d'avoire une tension de qualité a l'entrée de l'onduleur. Ces resultats obtenus permettent de valider le modèle de redresseur utilisé.

D'apres les figures IV.8, IV.9, qui representent les sorties tensions du l'onduleur, simple est compsés, on voit bien qu'elles sont de formes periodiques avec des valaur maximales qui correspendent à celle des tesnions simples et composées d'un systéme triphasée équilibré. Ces tensions on été bien obtenues en comandant l'onduleur avec la commande MLI sinustriangle, figure IV.6, IV.7. Cette derniere a permis d'obtenir les impulsions necessaires pour la commande de l'onduleur en comparant les trois tensions de reférences a une modulante triangulaire. L'adéquation de ces resultats obtenus permet de dire que le modèle tel qu'il est conçu peut etre validé.

# IV.3. Simulation de de l'ensemble moteur-variateur de vitesse

# IV.3.1 présentation du système variateur-moteur à simuler

Dans cette partie on va associer le modèle du variateur de vitesse ainsi que celui du moteur asynchrone, les modelés sont déjà validé, notre objectif et de pouvoir afficher l'évolution des grandeurs courant, vitesse et couple du moteur comme grandeurs de sorties en agissant sur les seules grandeurs d'entrée qui sont les tensions de références.

L'action sur les tensions de références permet de porter des modifications sur les grandeurs de sorties. Il est intéressent de pouvoir évaluer la variation de ces grandeurs pour valider le choix et le dimensionnement effectué dans les chapitre précédent.

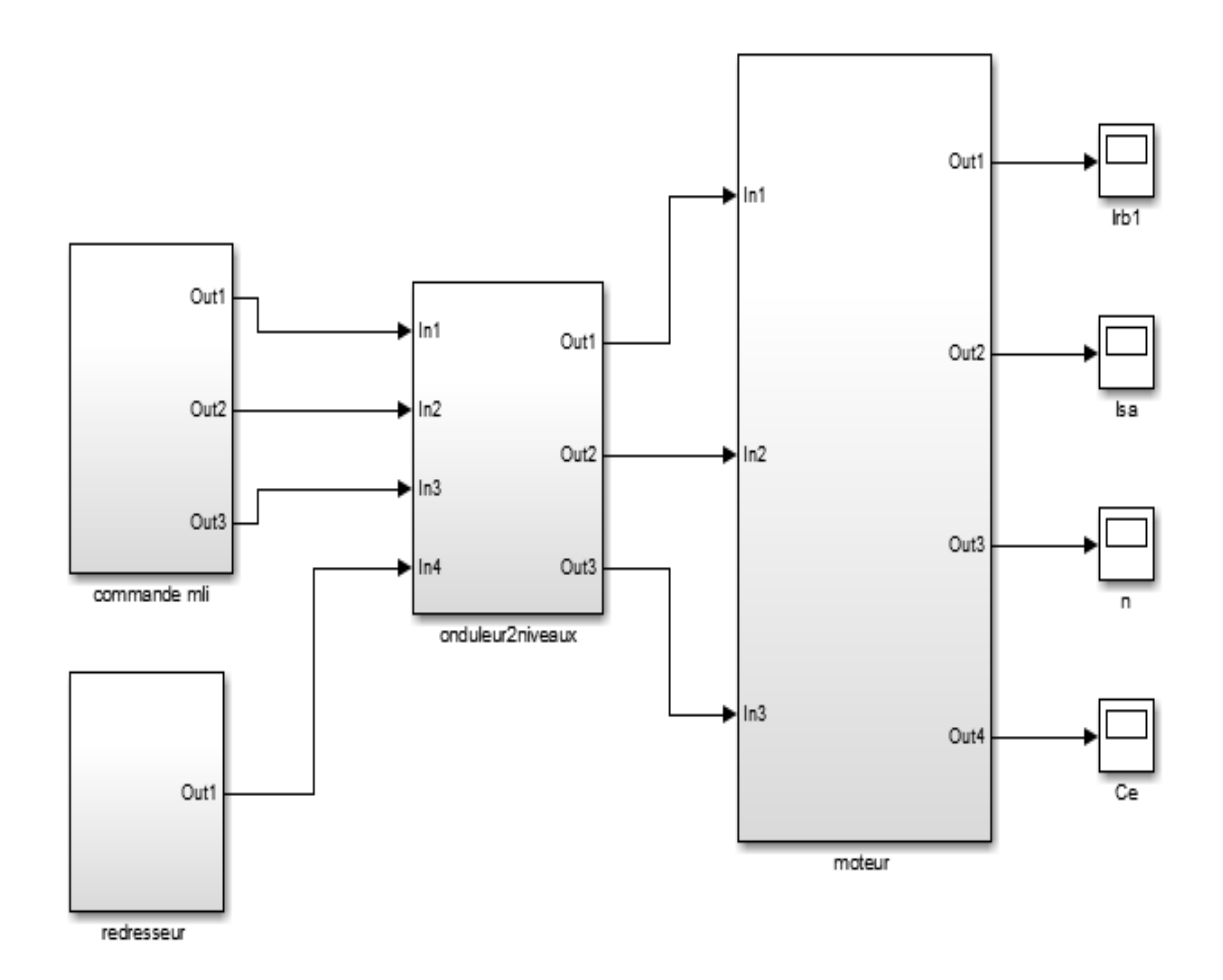


Figure (IV.10): Bloc de simulation MAS-variateur

# IV.3.2. Résultat de simulation

# IV.3.2.1 simulation avec f = 50Hz

# IV.3.2.1.1. Simulation à vide

Le moteur étant associée au variateur de vitesse avec une fréquence de la référence fr = 50Hz et une fréquence de la porteuse fp = 1.2KHz

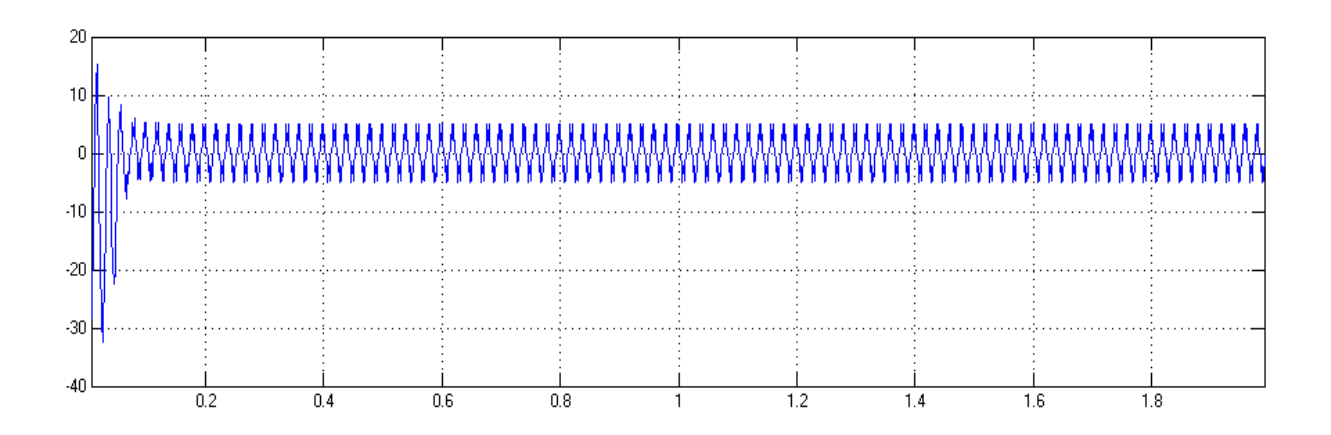


Figure (IV.11): courant statorique Isa à vide

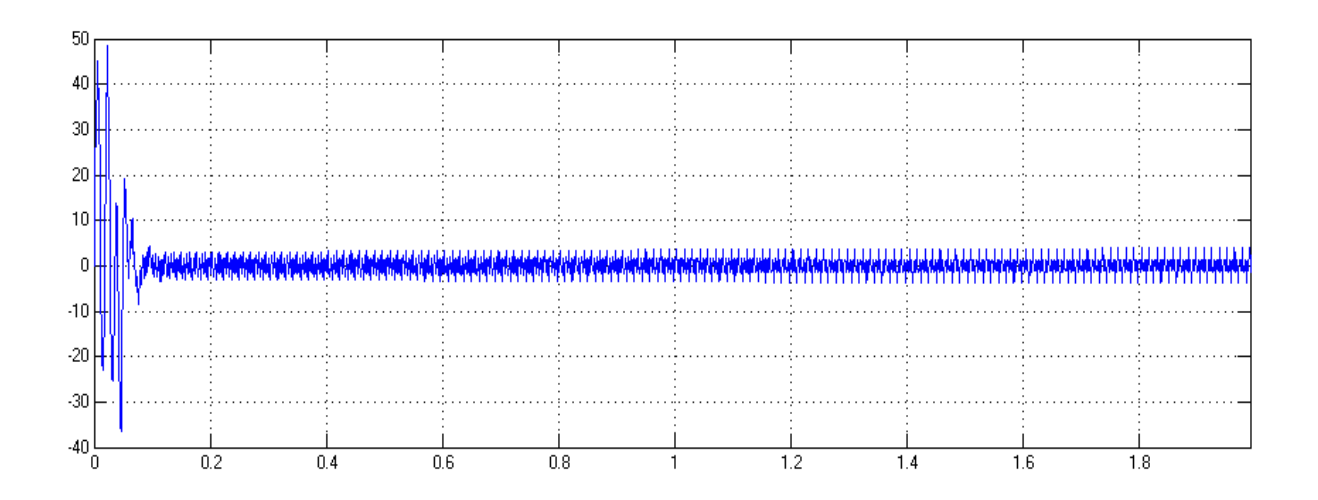


Figure (IV.12): courant rotorique Ira à vide

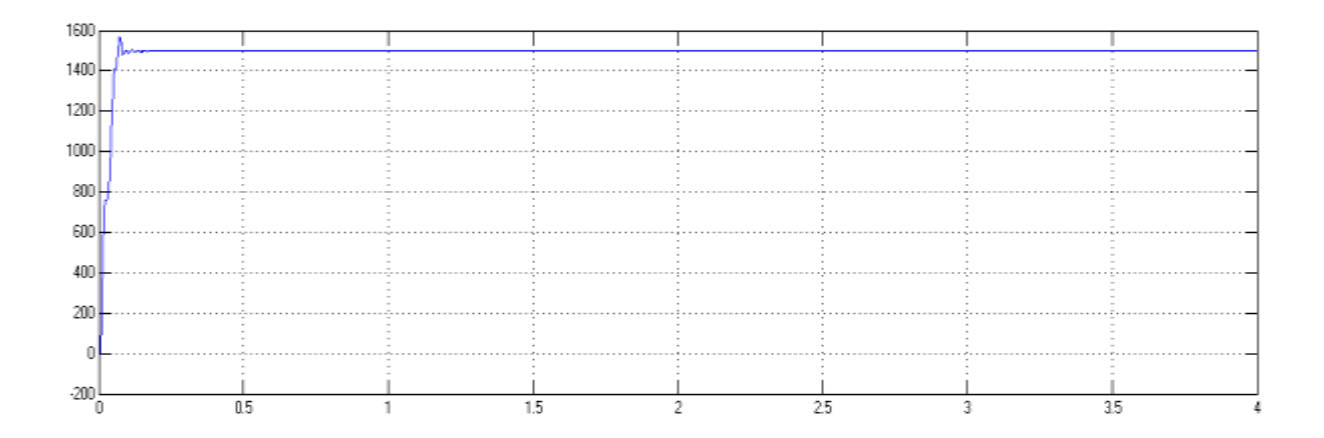
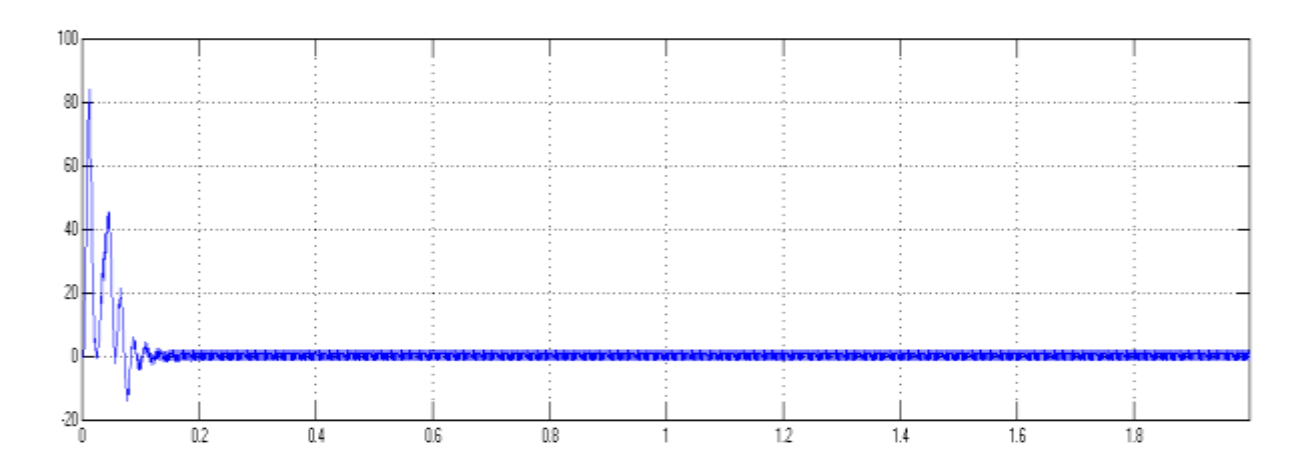


Figure (IV.13): la vitesse n à vide

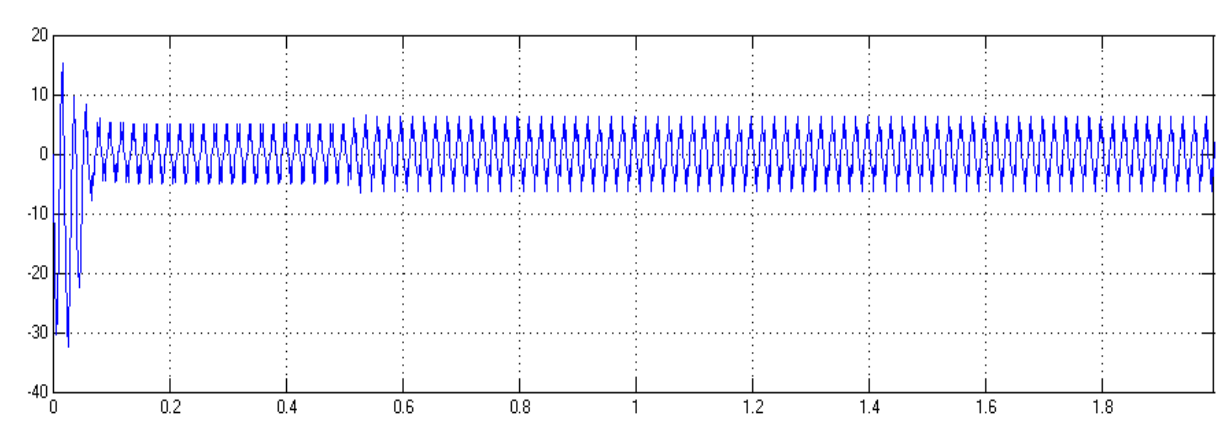




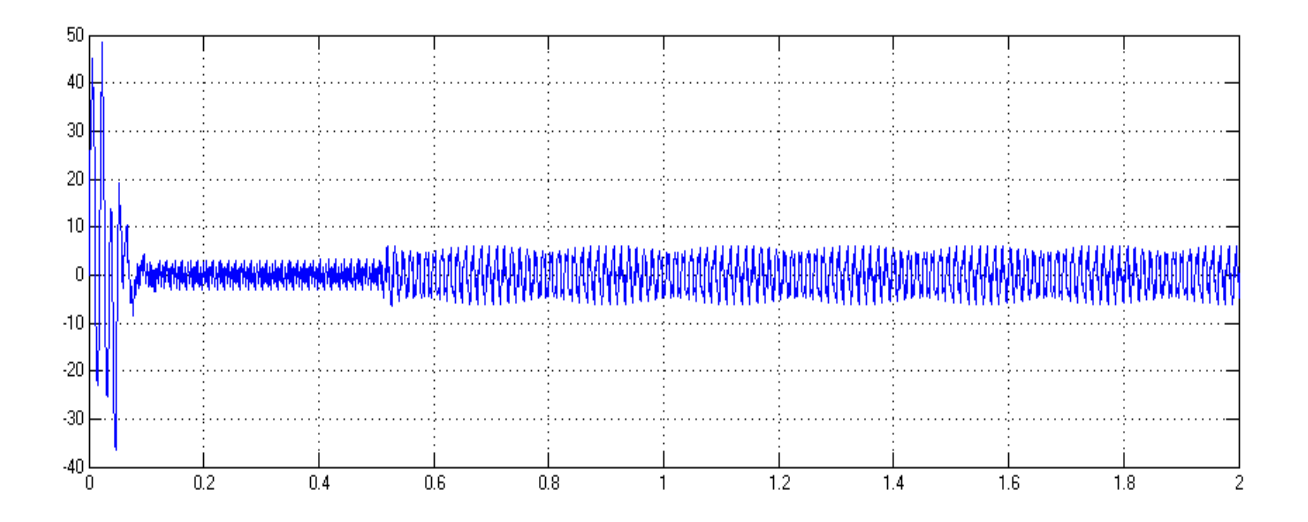
Figure(IV.14): Le couple électromagnétique Ce à vide

# IV.3.2.1.2. simulation en charge

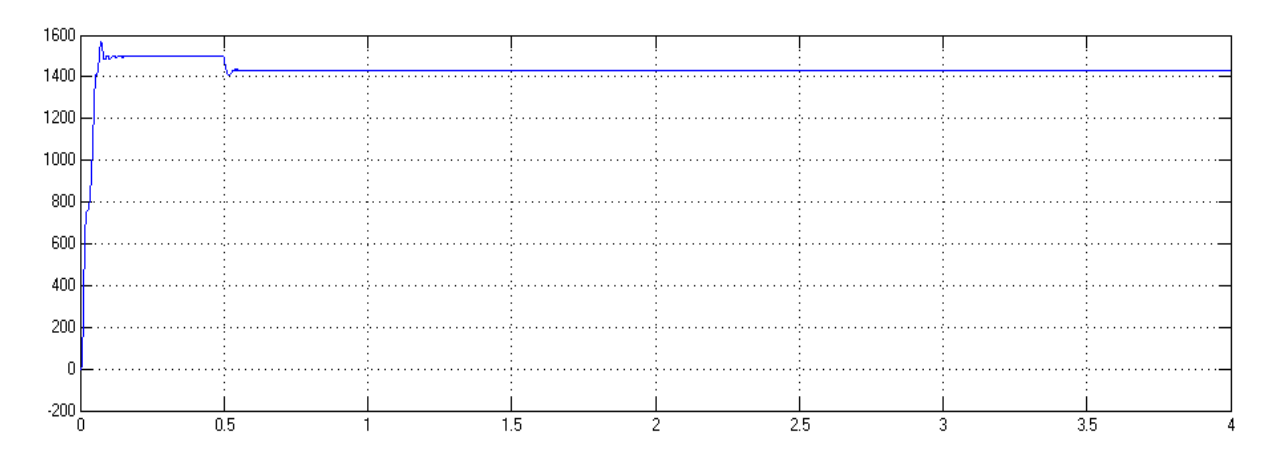
Le moteur étant associé au variateur de vitesse, on va lui associer le charge a t= 0.5s



**Figure (IV.15) :** courant statorique Isa en charge (f= 50Hz)



**Figure (IV.16)**: courant rotorique Ira en charge (f= 50Hz)



**Figure (V.17) :** vitesse n en charge (f= 50Hz)

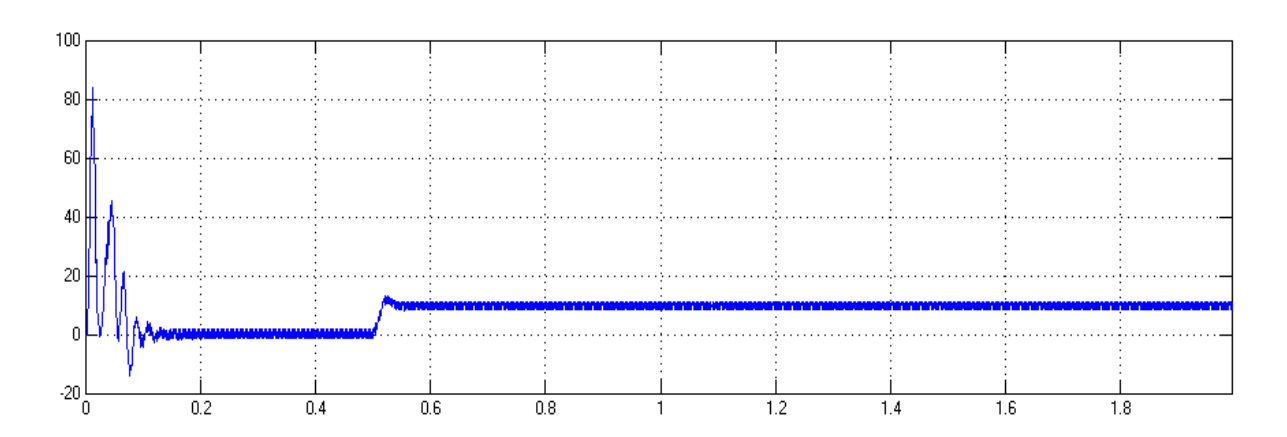


Figure (V.18) : couple électromagnétique Ce en charge (f= 50Hz)

# IV.3.2.2. Simulation avec une fréquence f= 40Hz

Le moteur étant alimenté avec une fréquence f= 40Hz, on va lui associer la charge a t= 0.5 s

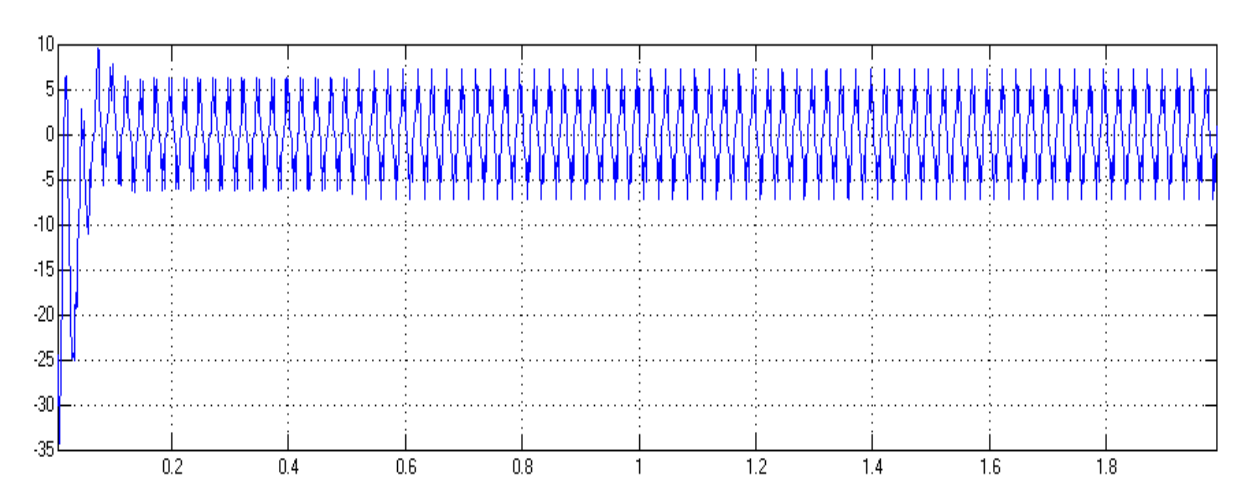


Figure (IV.19): courant statorique Isa en charge (f=40)

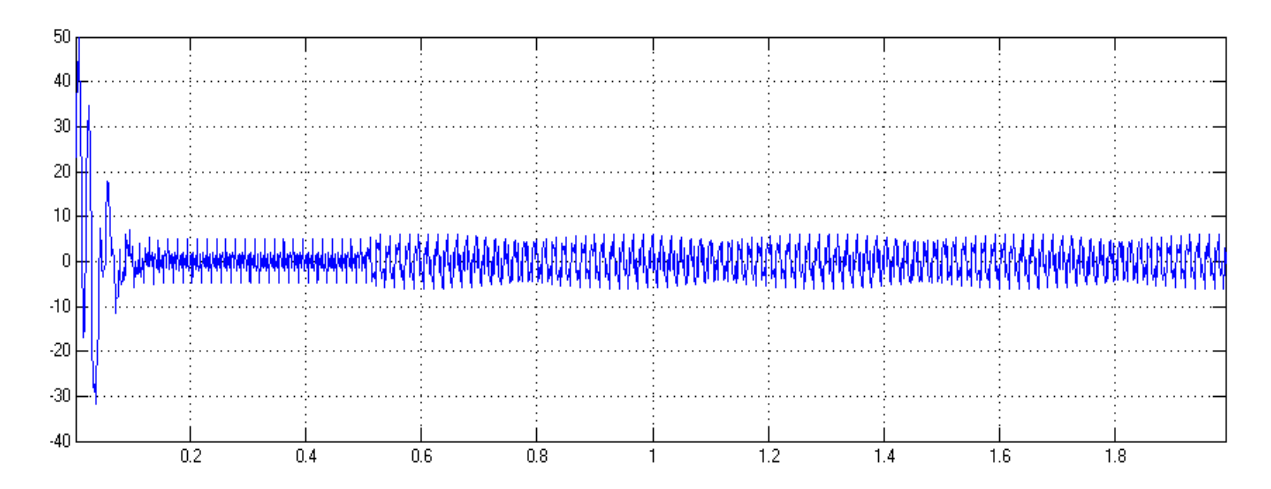


Figure (IV.20): courant rotorique en charge (fr=40Hz)

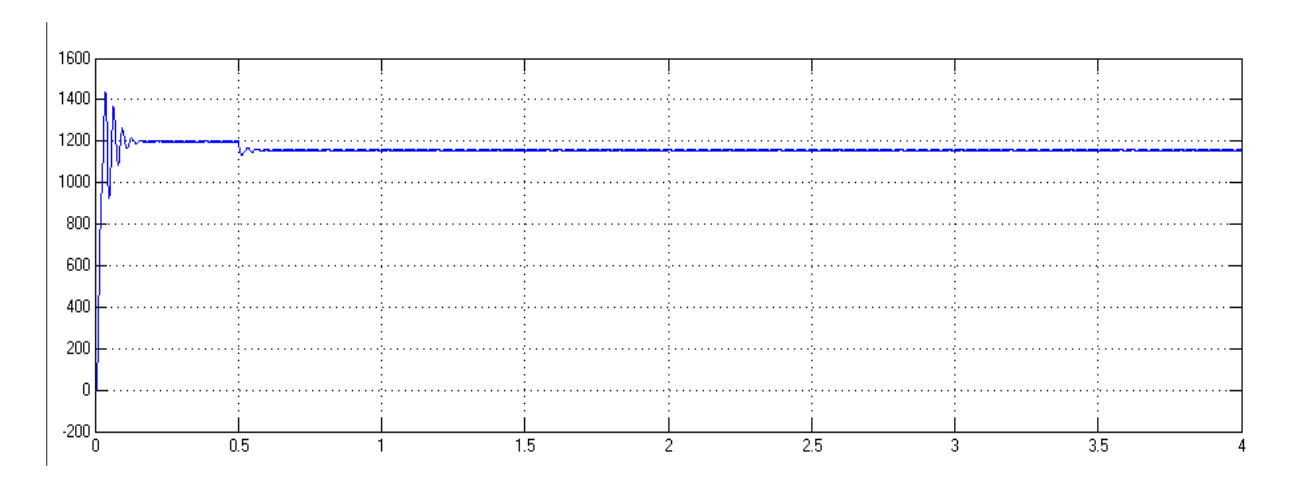


Figure (IV.21): la vitesse n en charge (f=40Hz)

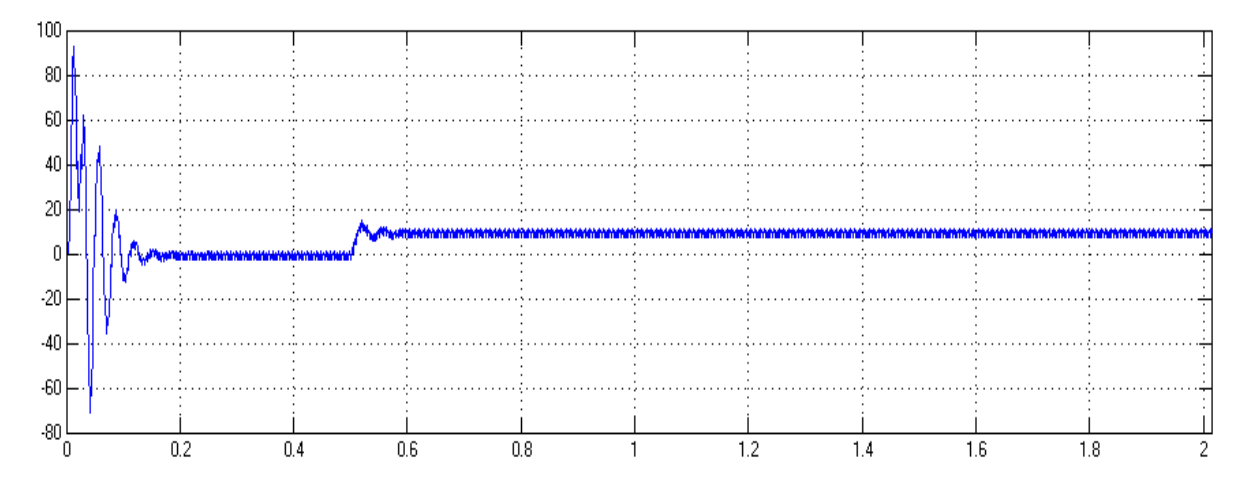


Figure (IV.22) : le couple électromagnétique Ce en charge (f=40Hz)

#### IV.4. Interprétation des résultats

Les résultats de simulation représentent l'évolution de la vitesse de rotation, du couple électromagnétique et les courants rotoriques et statoriques avec deux fréquences de référence déférente.

La machine étant associé au variateur de vitesse et fonctionnant à vide, durant la phase de démarrage le courant statorique prend des valeurs importantes (Figure IV.11), et c'est pareille pour le couple aussi (Figure II.14), une fois cette phase est dépassé le courant et le couple vont diminuer jusqu'à atteindre des valeurs faibles. Le temps de démarrage de moteur est estimer a t= 0.08 S et la vitesse se stabilise a une valeur de 1450 tr/min, qui est une vitesse inferieur à celle de synchronisme qui est de l'ordre de 1500 tr/min.

Le moteur étant toujours associer au variateur de vitesse, mais cette fois ci accouplé à la charge, on constate que le courant de démarrage est important mais aussi supérieur au courant de démarrage à vide (figure.IV.15) et c'est également le cas pour le couple(figure.IV.18), au régime nominale le courant et le couple diminue a des valeur largement inferieur mais qui restent tout fois supérieur à ceux de fonctionnement à vide.

On constate aussi que le temps de démarrage moteur-charge est un peu élevé par rapport à celui de démarrage à vide.

La vitesse se stabilise au régime nominal à une valeur de t=0.11S

Un autre asseye a été effectué sur l'ensemble moteur-variateur, on gardant la même charge mais on changeant la fréquence de référence avec une valeur de 40 Hz, afin de savoir le comportement du moteur, et cela nous a permet de visualisé une diminution des courants statorique et rotorique Figure (IV.19 et IV.20), et cela peut être expliqué par la diminution de la vitesse.

#### IV.3. conclusion

Dans ce chapitre on a atteint l'objectif tracé, qui est la réalisation d'un modèle d'un variateur de vitesse, dont on a commencé par réaliser la simulation de l'ensemble qui constitue ce dernier, (redresseur, onduleur), sous MATLAB/Simulink afin de valider les modèles mathématique faites et visualiser les tensions à la sortie de chaqu'un d'entre eux.

Les résultats de la simulation obtenue sont satisfaisantes vue l'obtention des grandeurs courants, couple et vitesse estimé au début de notre travail et la vérification des résultats de calcule faite dans le chapitre précédent.

# Conclusion générale

L'industrie électronique et électroménagère de nos jours connait une évolution technologique permanente des procédés industriels employés au niveau mondial et national, malgré la simplicité de leur fonctionnement et leurs résultats pertinents, ils donnent naissance à plusieurs contraintes, notamment ceux d'adaptation aux anciens matériels d'utilisation,

C'est le cas de l'entreprise de L'ENIEM qui trouve un problème avec leur nouvelle procédure d'émaillage. Notre objectif c'est de trouver une solution envisageable pour résoudre ce phénomène.

Dans le cadre de notre travail, on a d'abord dressé des généralités sur la machine asynchrone, La bibliographie consulté nous a permet de réaliser la modélisation de la machine asynchrone triphasée alimentée depuis le réseau. Nous avons pu établir un modèle mathématique de la machine asynchrone triphasée dont la complexité a été réduite, en utilisant un certain nombre d'hypothèses simplificatrices, en appliquant la transformation de Park qui permet de passer du système triphasé vers le système biphasé.

Les résultats obtenus par simulation montrent bien la validité du modèle de Park, dans le référentiel lié au stator, pour visualiser les différentes caractéristiques de la machine asynchrone. (vitesse, couple et les courants statoriques et rotoriques).

Ensuite nous avons établi un modèle d'un variateur de vitesse, dont on a fait la modélisation d'un redresseur PD3 avec un filtre passe bas (de première ordre), puis un onduleur a deux niveaux a commende MLI (triangolo-sinsoidale).

La simulation de l'ensemble qui constituent le variateur de vitesse valide les modèles mathématiques de ces derniers, avec lesquelles on a peut réaliser une simulation sous Matlab/Simulink et visualiser les tensions de sortie de chacun d'entre eux.

Finalement, les résultats obtenu par l'association de variateur a la machine asynchrone nous conduit à conclure que le modèle de variateur étudié est adéquat a notre machine asynchrone vu les résultats persuasif obtenu lors de la simulation.

Comme perspective pour notre travail, une étude plus avancé peut être effectué dans on va réaliser :

- Réaliser la partie instrumentation pour notre travail.

# **Bibliographie**

- [1] Wikipidia <a href="https://fr.wikipedia.org/wiki/Four">https://fr.wikipedia.org/wiki/Four</a> Dernière modification de cette page le 24 mai 2016, à 15:10.
- [2] le manuel de fonctionnement et de mise en service de four, fait par le constructeur FERRO 1991.
- [3] Daniel Clenet, Démarreurs et variateurs de vitesse électroniques. Cahier technique n°208 Schneider électrique Code : <a href="http://www.schneider-electric.com">http://www.schneider-electric.com</a> Rubrique : Le rendez-vous des experts. 2003.
- [4] Benayad, A, Guendouze. D Electronique générale, cour et exercices corrigé 2005.
- [5] Dominique Jacob, Electrotechnique, Moteur à courant alternatif Moteur asynchrones et brushless cour et problème résolue, ellipses. 2010.
- [6] Diaf Youssouf, Ben Antar Djamel, Modélisation et commande d'un onduleur triphasé piloté par MLI à structure multi-niveau, projet de fin d'étude, Université Kasdi Merbah–Ouargla. 2012.
- [7] Djellabi Fayssal, KAFI Ouahid Imad Eddine Étude, dimensionnement et simulation d'un variateur de vitesse pour moteur asynchrone ingénieur d'état en Électromécanique Université de M'hamed Bouguera Boumerdes Faculté des hydrocarbures et de la chimie. 2009.
- [8] Cour électronique générale 2eme Année Université de M'hamed Bouguera Boumerdes Faculté des hydrocarbures et de la chimie. 2013.
- [9] Zahir Ait Ouali Application des FPGA à la commande d'un moteur asynchrone, magister en automatique, automatique des systèmes continus et productique université mouloud memmari de tizi ouzou. 2007.
- [10] A.Djallal : Etude expérimental d'influence des stratégies MLI sur la commande de la machine à induction. Université de Batna. 2009.
- [11] Berrezzik Farid, Etude des Différentes Techniques de Commande des Onduleurs à MLI Associés à une Machine Asynchrone, diplôme de magistère en Commande Des Machines Electriques Université de Badji Mokhetare Annaba 20061.
- [12] Carlos canudas de Witt. Commande des moteurs asynchrones. Volume 1 « Modélisation, contrôle vectoriel et DTC » Hermès science 2000.
- [13] Rachid abdessemed, Modélisation et simulation des machine électrique, ellipses 2011.
- [14] Jean-Pier Caron, Jean-Paul Hautier, Modélisation et commande de la machine asynchrone, TECHNIP janvier 1995.